

Felipe Lima Alcântara

Processamento de sinais Biológicos

Prova 1 de Processamento de Sinais Biológicos, 02/2019.

Universidade de Brasília - UnB

Faculdade UnB Gama - FGA

Brasília, DF

09 de novembro de 2019

Sumário

| | | |
|----------|---|-----------|
| 1 | QUESTÃO 1 | 5 |
| 1.1 | Item A | 5 |
| 1.2 | Item B | 5 |
| 1.3 | Item C | 6 |
| 1.4 | Item D | 7 |
| 1.4.1 | <code>evaluate_decomposition_synthesis_filters</code> | 9 |
| 1.5 | Item E | 9 |
| 1.6 | Item F e G | 10 |
| 1.7 | Item H | 11 |
| 1.8 | Item I | 11 |
| 1.9 | Item J | 11 |
| 1.10 | Item K | 12 |
| 2 | QUESTÃO 2 | 13 |
| 2.1 | Item A | 13 |
| 2.2 | Item B | 14 |
| 2.3 | Item C e D | 15 |
| 2.4 | Item E | 16 |
| 2.5 | Item F | 16 |
| 2.5.1 | <code>frequency_domain_filter.m</code> | 17 |
| 2.5.2 | Resultados de Filtragem | 18 |
| 3 | QUESTÃO 3 | 19 |
| 3.1 | Item A | 19 |
| 3.2 | Item B | 20 |
| 3.2.1 | <code>noising_signal.m</code> | 20 |
| 3.2.1.1 | <code>min_win_energy.m</code> | 21 |
| 3.2.1.2 | <code>make_sinusoidal_signal.m</code> | 22 |
| 3.2.1.3 | <code>noise_application.m</code> | 23 |
| 3.3 | Item C | 23 |
| 3.4 | Item D | 25 |
| 3.5 | Item E | 27 |
| 4 | QUESTÃO 4 | 31 |
| 4.1 | Item A | 31 |
| 4.1.1 | <code>NMcoefs.m</code> | 31 |

| | | |
|-------------|--|-----------|
| 4.1.2 | Resultados | 32 |
| 4.2 | Item B | 32 |
| 4.2.1 | inverse_with_NMcoefs.m | 33 |
| 4.2.2 | Resultados | 33 |
| 4.3 | Item C | 34 |
| 4.4 | Item D | 36 |
| 5 | QUESTÃO 5 | 37 |
| 5.1 | extract_signals.m | 37 |
| 5.2 | Item A | 37 |
| 5.2.1 | carac_time_frequency.m | 39 |
| 5.3 | Item B | 40 |
| 5.4 | carac_time_frequency_energy.m | 41 |
| 5.4.1 | energy_bands.m | 42 |
| 5.5 | iir_design.m | 42 |
| 5.6 | Item C | 43 |
| 5.7 | percentage_extraction_band.m | 43 |
| 5.7.1 | energy_in_bands.m | 44 |
| 5.8 | Item D | 45 |
| 5.9 | Item E | 46 |
| 5.9.1 | extract_caracs.m | 46 |
| 5.9.2 | Resultados | 47 |
| 5.10 | Item F | 47 |

1 Questão 1

1.1 Item A

Representar sinais adquiridos a uma taxa constante têm uma ineficiência inerente. A taxa deve ser suficiente para representar os eventos de maior banda, ainda que sejam esporádicos esta taxa é em geral mais alta do que seria necessário para maior parte do sinal.

A função de uma representação multitaxa, a partir de um sinal adquirido a uma taxa constante é passarmos a representar as bandas de alta frequência a uma taxa maior e as bandas de baixa frequência a uma taxa menor, com uma gradação entre esses extremos. Por tanto se torna necessário a decomposição do sinal em diferentes bandas de frequência tornando-se necessário a filtragem inicial.

1.2 Item B

Para que haja reconstrução perfeita do sinal é necessário que a equação 1.1 seja cumprida com $A \neq 0$ e $d \in \mathbf{Z}$.

$$y[n] = A * x[n - d] \quad (1.1)$$

Por conta dos filtros causais haverá atraso e poderá haver uma diferença na amplitude entre a entrada e saída. Para determinar as condições a melhor forma é calcular $Y(z)$, Figura 1, sabendo que o efeito dos sub-amostradores e sobre-amostrados, de quantidade M , no domínio Z são dados respectivamente, pelas equações 1.2 e 1.3.



Figura 1 – Diagrama de decomposição e síntese passa baixa.

$$Y[z] = \frac{1}{M} \sum_{k=0}^{M-1} x(z^{\frac{1}{M}} W_M^{-k}) \quad (1.2)$$

$$Y[z] = X[z^M] \quad (1.3)$$

Iniciamos calculando a saída do primeiro bloco, equação 1.4. Após calculamos a do bloco de *downsample*, equação 1.5

$$X_0[z] = X[z]H_0[z] \quad (1.4)$$

$$V_0[z] = \frac{1}{2}(X_0[z^{1/2}] + X_0[-z^{1/2}]) \quad (1.5)$$

Substituindo eq. 1.4 em eq. 1.5, encontra-se a equação 1.6.

$$V_0[z] = \frac{1}{2}(X[z^{1/2}]H_0[z^{1/2}] + X[-z^{1/2}]H_0[-z^{1/2}]) \quad (1.6)$$

Após isso é calculada a saída do bloco de *upsample* e substituída a eq. 1.6 no resultado, equação 1.7.

$$W_0 = V[z^2] = \frac{1}{2}(X[z]H_0[z] + X[-z]H_0[-z]) \quad (1.7)$$

Por fim encontra-se a saída, equação 1.8.

$$Y_0[z] = W_0[z]G_0[z] = \frac{1}{2}(X[z]H_0[z]G_0[z] + X[-z]H_0[-z]G_0[z]) \quad (1.8)$$

Analogamente,

$$Y_1[z] = W_1[z]G_1[z] = \frac{1}{2}(X[z]H_1[z]G_1[z] + X[-z]H_1[-z]G_1[z]) \quad (1.9)$$

Por fim é realizada a soma das duas saídas para formar o sinal sintetizado, equação 1.11.

$$Y[z] = Y_0[z] + Y_1[z] \quad (1.10)$$

$$Y[z] = \frac{1}{2}\{X[z] \cdot (H_0[z]G_0[z] + H_1[z]G_1[z]) + X[-z] \cdot (H_0[-z]G_0[z] + H_1[-z]G_1[z])\} \quad (1.11)$$

A parcela que multiplica $X[-z]$ deve ser zerada pois representa a sobreposição do sinal, por tanto pode-se chegar nas 2 condições para reconstrução perfeita descritas nas equações 1.12 e 1.13.

$$H_0[z]G_0[z] + H_1[z]G_1[z] = 2Az^{-d} \quad (1.12)$$

$$H_0[-z]G_0[z] + H_1[-z]G_1[z] = 0 \quad (1.13)$$

1.3 Item C

Utilizando as equações 1.12 e 1.13, porém invertendo os filtros de síntese com o de decomposição, encontra-se as equações 1.14 e 1.15.

A primeira é inalterada, pois a ordem dos fatores não altera o resultado, já a segunda os índices que tiveram sinal alternado anteriormente na equação 1.13, foram alternados em G.

$$G_0[z]H_0[z] + G_1[z]H_1[z] = 2Az^{-d} \quad (1.14)$$

$$G_0[-z]H_0[z] + G_1[-z]H_1[z] = 0 \quad (1.15)$$

Logo se um banco QMF é de reconstrução perfeita não importa a ordem dos filtros sendo necessário respeitar os pares.

1.4 Item D

Para identificar o tipo de filtro foi utilizado o script abaixo.

```

1  %Classifying filters
2      close all; clc;
3      Ha = [-0.3327 0.8069 -0.4599 -0.1350 0.0854 0.0352];
4      Hb = [0.0352 -0.0854 -0.1350 0.4599 0.8069 0.3327];
5      Ga = [0.3327 0.8069 0.4599 -0.1350 -0.0854 0.0352];
6      Gb = [0.0352 0.0854 -0.1350 -0.4599 0.8069 -0.3327];
7
8      z_Ha = roots(Ha);
9      z_Hb = roots(Hb);
10     z_Ga = roots(Ga);
11     z_Gb = roots(Gb);
12
13     figure;
14     subplot(221); zplane(z_Ha);
15     title('Ha');
16     subplot(222); zplane(z_Hb);
17     title('Hb');
18     subplot(223); zplane(z_Ga);
19     title('Ga');
20     subplot(224); zplane(z_Gb);
21     title('Gb');
```

Primeiramente encontrou-se o valor dos zeros e assim pode-se plotar os pontos no domínio Z, Figura 2. Desta forma já é possível determinar visualmente o tipo de filtro, porém ainda foi utilizada a equação 1.16, para determinar os ganhos e assim provar o que foi notado visualmente, a respostas se encontra na Tabela 1.

$$|H(jw)| = \prod_{k=0}^M |e^{jw} - z_k| \quad (1.16)$$

Para determinar a reconstrução perfeita foi utilizado o função feita em sala denominada `evaluate_decomposition_synthesis_filters`, inicialmente é realizada a criação

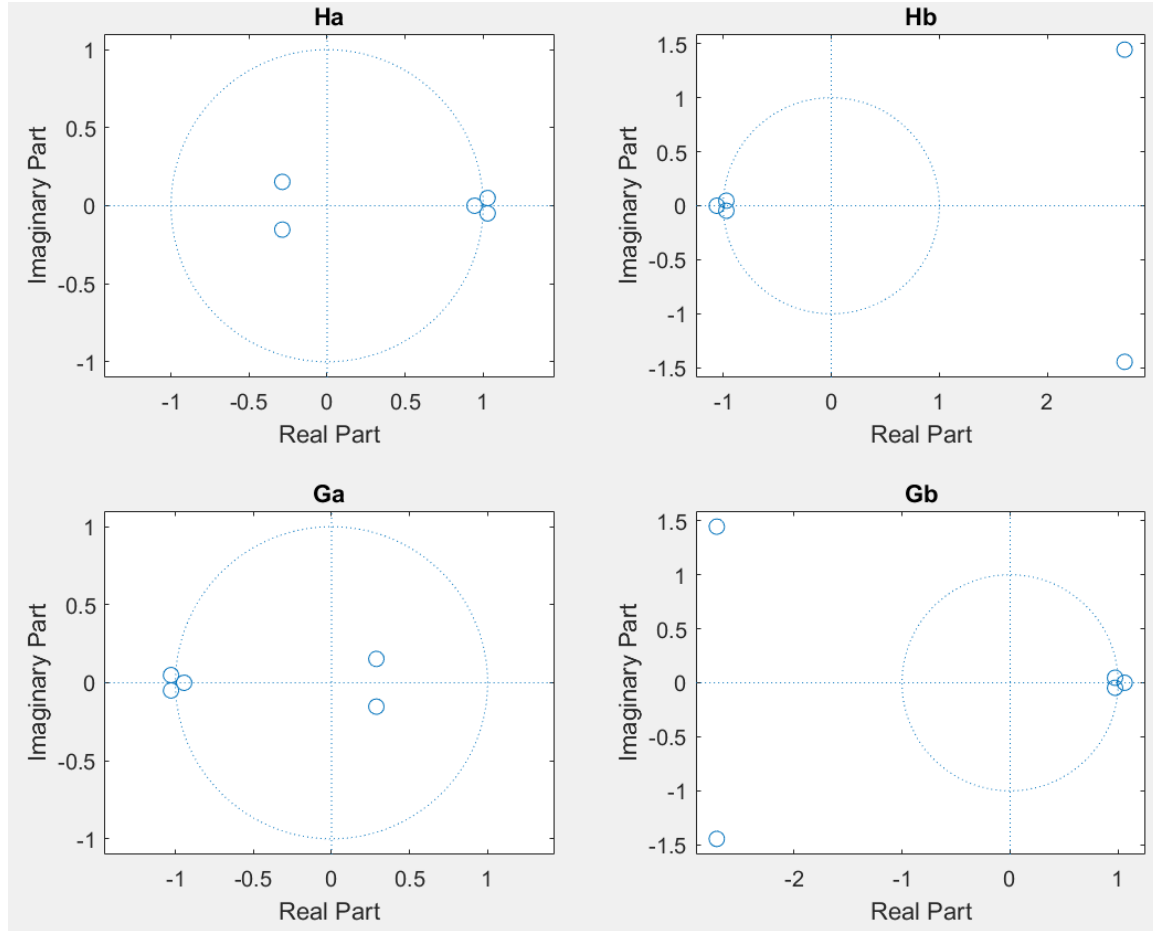


Figura 2 – Zeros dos filtros da questão 1 D no Domínio Z.

Tabela 1 – Respostas em frequência dos Filtros.

| Filtros | Classificação | Local QMF |
|---------|---------------|-----------|
| H_a | Passa-alta | H_1 |
| H_b | Passa-baixa | H_0 |
| G_a | Passa-baixa | G_0 |
| G_b | Passa-alta | G_1 |

dos filtros com coeficientes negativos($H[-z]$), estes terão seus coeficientes múltiplos de 2 alternados, isto é realizado na função `alternate_coefficients_signals`.

Após a alternância do sinal dos coeficientes, basta-se realizar a soma dos poliônimos da convolução dos filtros passa-baixas entre si e passa-altas analogamente, como os filtros podem ter tamanhos diferentes é necessário antes igualar seus tamanhos para isso foi criada a função `polynomial_sum`.

Por fim basta analisar se os resultados cumprem as equações 1.12 e 1.13, nota-se que foi estabelecido uma tolerância mínima para o valor de A, A deve ser maior que $\text{tol}/2$.

1.4.1 evaluate_decomposition_synthesis_filters

```

1 function [perfect_reconstruction, A, d] = ...
    evaluate_decomposition_synthesis_filters(h0, h1, g0, g1, tol);
2     if ~exist('tol')
3         tol = 1e-4;
4     end
5     h0_ = alternate_coefficients_signals(h0);
6     h1_ = alternate_coefficients_signals(h1);
7     alias_term = polynomial_sum(conv(h0_, g0), conv(h1_, g1));
8     perfect_reconstruction = ~(any(~(abs(alias_term) < tol)));
9     lti_term = polynomial_sum(conv(h0, g0), conv(h1, g1));
10    k = find(abs(lti_term) ≥ tol);
11    perfect_reconstruction = ((length(k) == 1) & ...
        perfect_reconstruction);
12    if ~perfect_reconstruction
13        k = find(abs(lti_term) == max(abs(lti_term)));
14        k = k(1);
15    end
16    A = lti_term(k) / 2;
17    d = k - 1;
18 end
19
20 function h_ = alternate_coefficients_signals(h);
21     h_ = h;
22     h_(2 : 2 : length(h_)) = -h_(2 : 2 : length(h_));
23 end
24
25 function z = polynomial_sum(x, y);
26     x1 = zeros(max([length(x); length(y)]), 1);
27     y1 = x1;
28     x1(1 : length(x)) = x;
29     y1(1 : length(y)) = y;
30     z = x1 + y1;
31     if(size(x, 2) > size(x, 1))
32         z = z.';
33     end
34 end

```

1.5 Item E

Para determinar o tipo de decomposição do filtro basta realizar o produto interno entre os filtros de decomposição, se $H_0 \cdot H_1 = 0$ ela será ortogonal, realizando-a foi possível determinar a ortogonalidade $H_a \cdot H_b = -5.2042 * 10^{-18} \approx 0$.

1.6 Item F e G

As letras foram feitas em uma única imagem, para facilitar visualização. A Figura 3 demonstra um banco QMF sem considerar o atraso, já a Figura 4 considera o atraso dos blocos, o d utilizado foi encontrado pela função `evaluate_decomposition_synthesis_filters`.

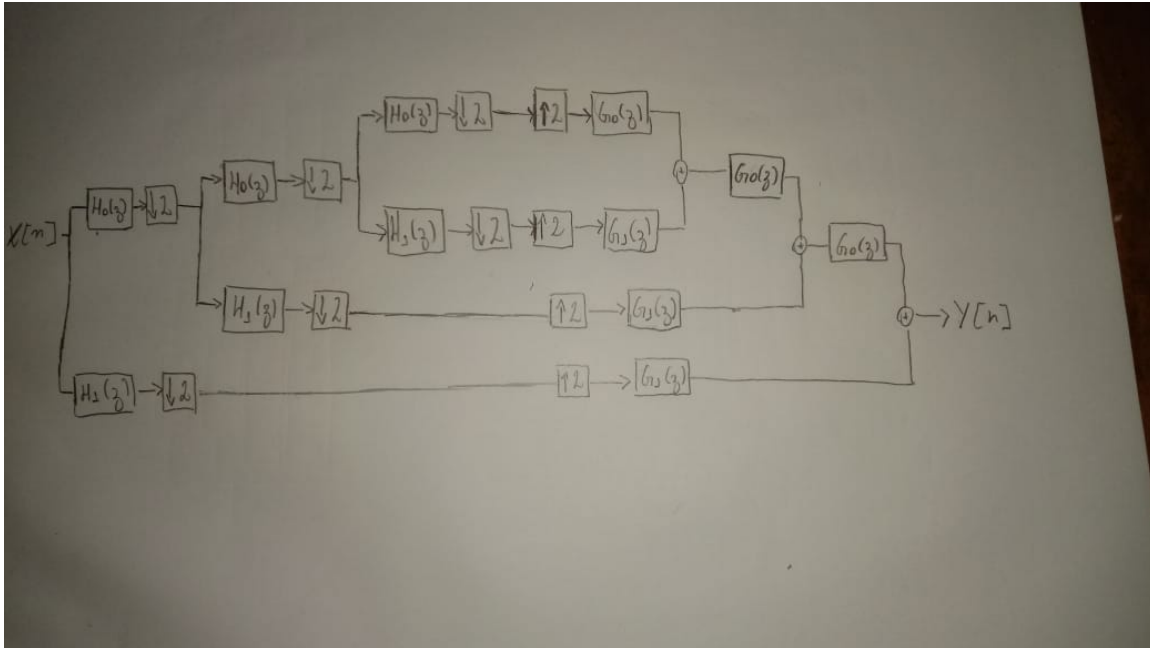


Figura 3 – Banco QMF com 3 níveis.

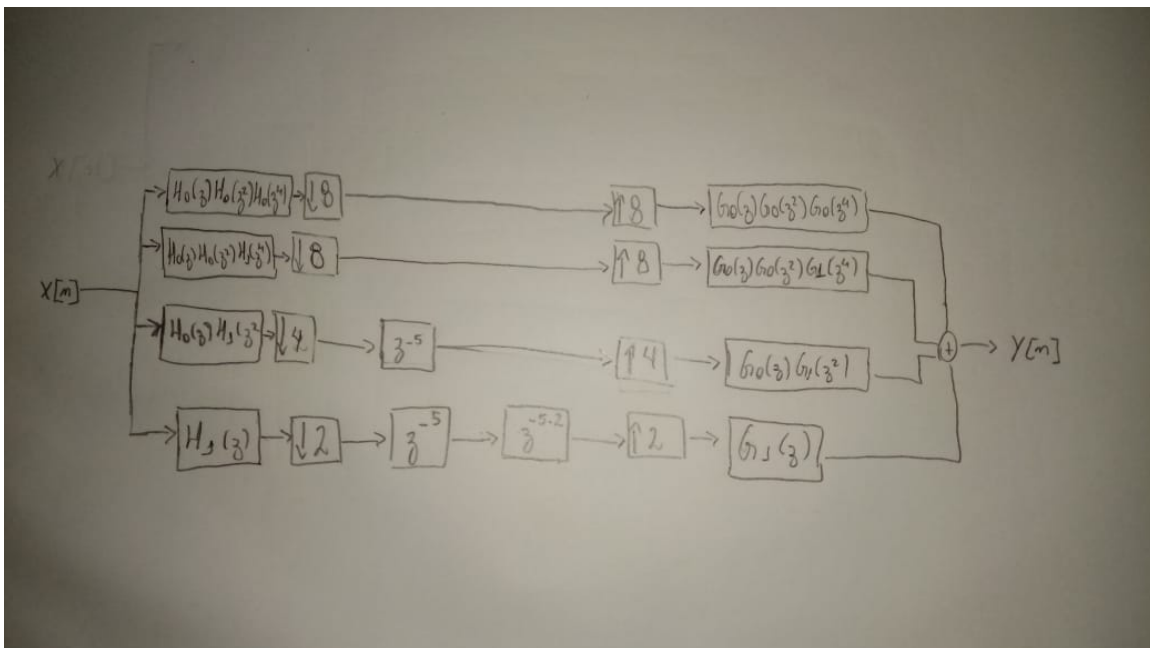


Figura 4 – Banco QMF com 3 níveis considerando um atraso em cada estágio.

1.7 Item H

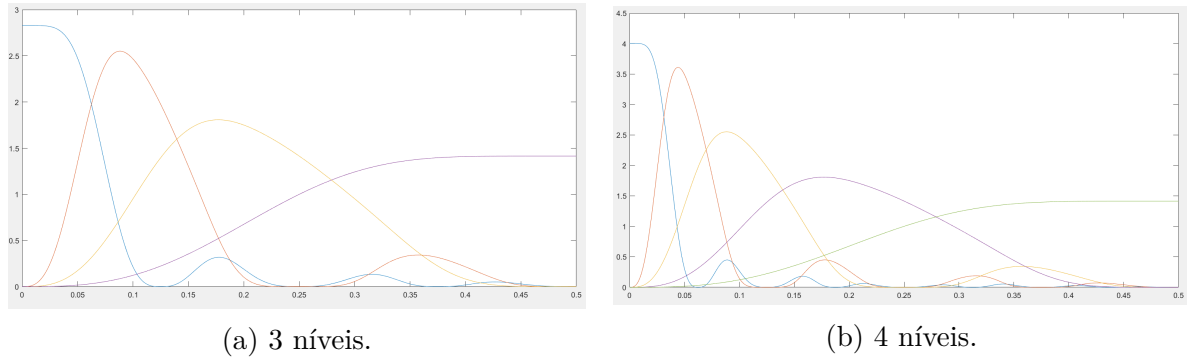


Figura 5 – Resposta em frequência dos filtros de decomposição.

1.8 Item I

Uma decomposição multinível QMF utiliza pequenas janelas em baixas frequência e grandes em baixa frequência, por tanto a resolução no tempo das altas frequências enquanto a resolução em frequência se torna melhor em baixas frequências.

Ao se realizar uma representação *tempo x frequência* resulta-se na imagem a direita da Figura 6. Nota-se que em altas frequências o resultado é maior verticalmente, isso é baixa resolução em frequência, porém horizontalmente é menor, resultando em uma melhor resolução no tempo.

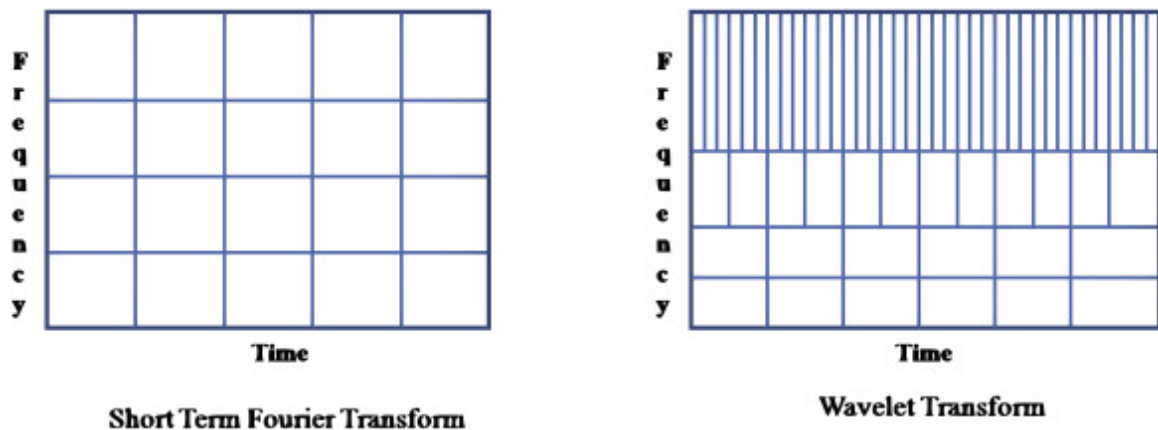


Figura 6 – Representação Tempo-Frequência com STFT ou WT.

1.9 Item J

A existência de diversos filtros está diretamente ligada a necessidade de aplicação em diversos tipos de sinais, estes que precisam de um processo de processamento diferente,

para se obter as informações. Ortogonalidade, linearidade de fase e forma da resposta em frequência.

1.10 Item K

Filtros ortogonais na decomposição, formam um conjunto de bases que descrevem o sinal, e podem ser utilizados na decomposição e reconstrução, os filtros de fase linear tem um atraso em frequência constante, assim não existe uma necessidade de se adequar o filtro a cada tipo de frequência.

Tabela 2 – Características das transformadas *wavelets*.

| | Daubechies | Coiflets | Symlets | Biortogonais |
|-----------|------------|----------|---------|--------------|
| Ortogonal | Sim | Sim | Sim | Não |
| Linear | Não | Sim | Não | Não |

2 Questão 2

Os sinais utilizados na questão foram os apresentados na Figura 7.

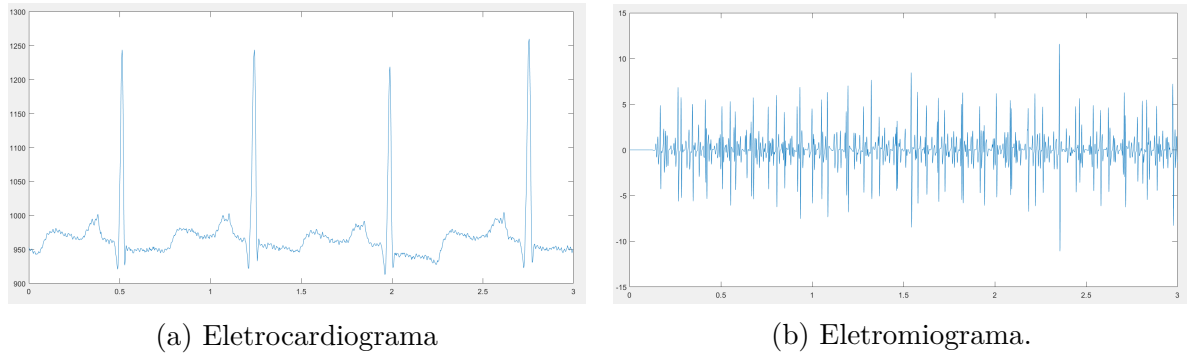


Figura 7 – Gráficos Tempo(s) x Tensão(mV).

2.1 Item A

As Figuras 8 e 9, são as transformadas de Fourier do sinal de eletrocardiografia e de eletromiografia, respectivamente. Para a apresentação das imagens foi criado o script `quest2a.m`.

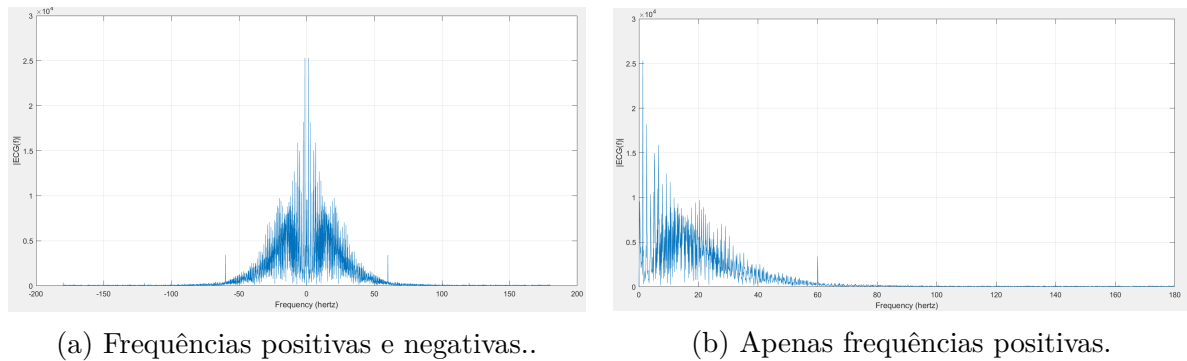


Figura 8 – Transformada de Fourier do sinal de eletrocardiograma.

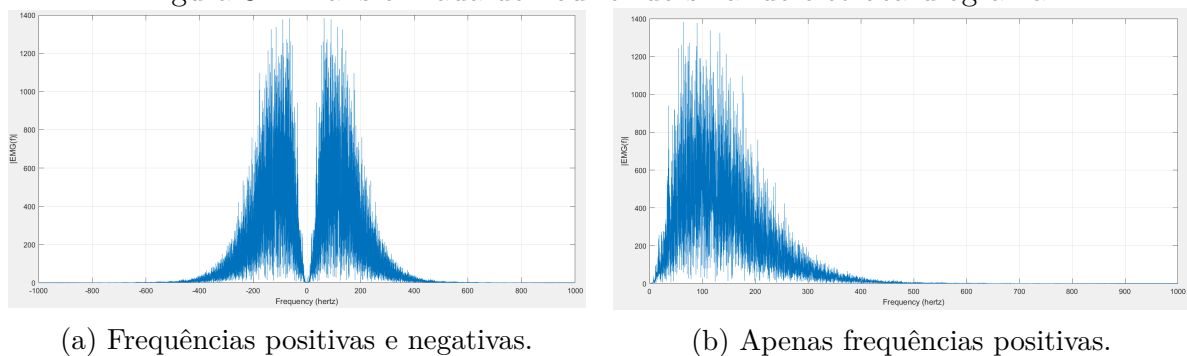


Figura 9 – Transformada de Fourier do sinal de eletromiograma.

```
1 %quest2a.m
2     close all; clc;
3     ecg_1 = load('ecg_1.mat', 'x', 'fs');
4     emg_1 = load('emg_1.mat', 'x', 'fs');
5
6     ecg = ecg_1.x;
7     fs_ecg = ecg_1.fs;
8     emg = emg_1.x;
9     fs_emg = emg_1.fs;
10    ecg = ecg-mean(ecg);
11    emg = emg-mean(emg);
12
13    ECG = fft(ecg);
14    ECG = ECG(1 : round(length(ECG)/2));
15    f_ecg = linspace(0, 0.5, length(ECG))*fs_ecg;
16    figure;
17    plot(f_ecg, abs(ECG));
18    xlabel('Frequency (hertz)')
19    ylabel('|ECG(f)|')
20    grid on
21    a = axis();
22
23    EMG = fft(emg);
24    EMG = EMG(1 : round(length(EMG)/2));
25    f_emg = linspace(0, 0.5, length(EMG))*fs_emg;
26    figure;
27    plot(f_emg, abs(EMG));
28    xlabel('Frequency (hertz)')
29    ylabel('|EMG(f)|')
30    grid on
31    a = axis();
```

2.2 Item B

Realizando a comparação entre as Figuras 8b e 9b, nota-se que o eletrocardiograma tem uma concentração maior em uma faixa de frequências baixas, entre 2Hz à 40Hz, isto é notado pela forma do sinal no domínio do tempo, Figura 7a, onde nota-se oscilações lentas.

Já o eletromiograma, tem uma concentração em uma faixa de frequência mais alta, entre 35Hz à 240Hz, isso é notado pelas oscilações rápidas no tempo, Figura 7b

2.3 Item C e D

Para determinar o potencial de energia no sinal utilizou-se a função `bandpower` disponível no Matlab, esta função tem como saída a frequência media do sinal numa determinada banda, para isso a função usa um periodograma modificado para determinar a potência média no intervalo de frequência. O *script* utilizado para a determinação do percentual segue abaixo e os resultados se encontram na Tabela 3.

```

1      %band energy percent script
2      ecg_1 = load('ecg_1.mat', 'x', 'fs');
3      emg_1 = load('emg_1.mat', 'x', 'fs');
4      ecg = ecg_1.x;
5      fs_ecg = ecg_1.fs;
6      emg = emg_1.x;
7      fs_emg = emg_1.fs;
8      ecg = ecg-mean(ecg);
9      emg = emg-mean(emg);
10
11     % Calculating the frequency band of signals
12     ECG = fft(ecg);
13     ECG = ECG(1 : round(length(ECG)/2));
14     f_ecg = linspace(0, 0.5, length(ECG))*fs_ecg;
15     EMG = fft(emg);
16     EMG = EMG(1 : round(length(EMG)/2));
17     f_emg = linspace(0, 0.5, length(EMG))*fs_emg;
18
19     %Calculating the band energy percentage
20     power_band_ecg = bandpower(ecg,fs_ecg,[2 40]);
21     total_power_ecg = bandpower(ecg,fs_ecg,[0 max(f_ecg)]);
22     percentage_power_ecg = 100*(power_band_ecg/total_power_ecg);
23     power_band_emg = bandpower(emg,fs_emg,[2 150]);
24     total_power_emg = bandpower(emg,fs_emg,[0 max(f_emg)]);
25     percentage_power_emg = 100*(power_band_emg/total_power_emg);

```

Tabela 3 – Porcentagem de energia nas faixa de frequência

| Sinal(Banda) | Porcentagem de Energia |
|----------------|------------------------|
| ECG(2 – 40Hz) | 88.01% |
| EMG(2 – 150Hz) | 74.45% |

Nota-se com os resultados presentes na Tabela 3, que enquanto grande parte da energia do sinal de ECG está presente em uma banda pequena de frequências, 2 à 40Hz, o EMG, com mais do triplo da faixa do ECG, tem uma porcentagem menor de energia, pois ele tem sua energia dividida com mais igualdade entre as frequências.

2.4 Item E

A interferência mais fácil de se visualizar é a causada pela rede de alimentação, em 60Hz como mostrado na Figura 10. Mais difícil de se visualizar no domínio de Fourier, por estar próxima as frequências características do sinal tem-se o desvio da linha de base causada por sinais de baixa frequência gerados pelo paciente e pelos eletrodos, também estão descritos demonstrados na Figura 10. E por fim tem-se o nível DC adicionado ao sinal por conta das bioimpedâncias e das impedâncias provenientes do método de aquisição, este é retirado com uma simples subtração da media do sinal, Figura 7a, fixando assim o eixo do sinal em 0 como pode ser visto na Figura 11b.

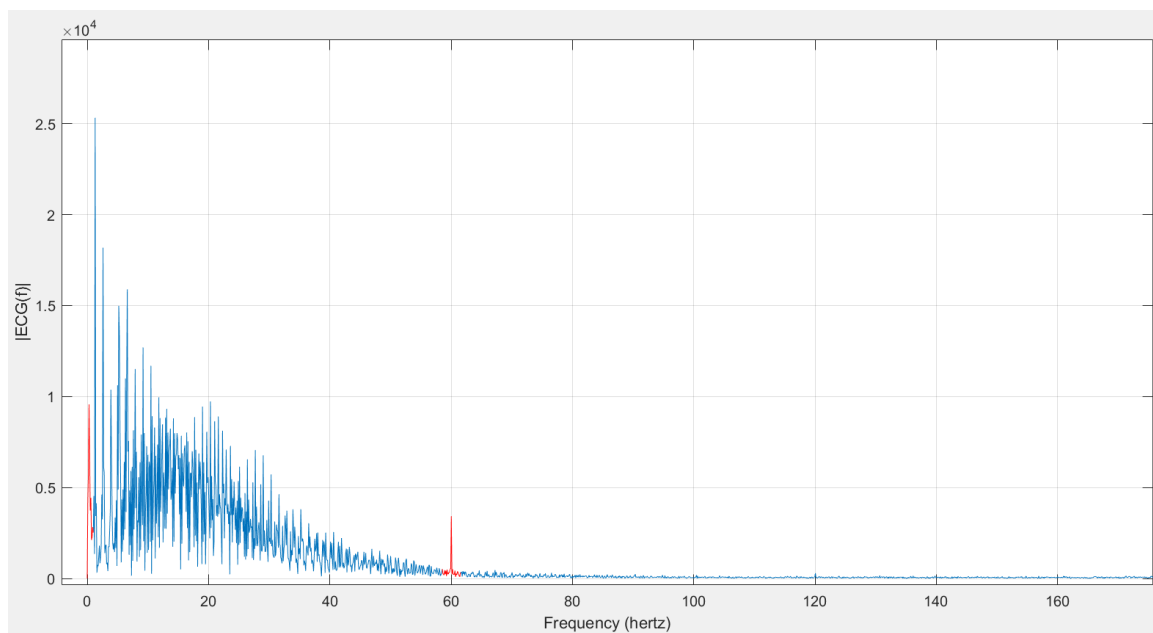


Figura 10 – Transformada de Fourier do ECG com ruídos sublinhados em vermelho.

2.5 Item F

Para tratar o sinal no domínio de Fourier utilizou-se uma função que realiza os cálculos relacionados aos índices de frequência, a filtragem do sinal e a transformada inversa, denominada `frequency_domain_filter`, secção 2.5.1, e os resultados estão explicitados na secção 2.5.2.

2.5.1 frequency_domain_filter.m

```

1 function ...
    [time_filtered_signal,frequency_filtered_signal,pos_k,neg_k] = ...
2 frequency_domain_filter(x,fs,nfilters,freqs,nfft)
3 x= x-mean(x);
4 if ~exist('nfft')
5     nfft = length(x);
6 end
7 if length(freqs)< (nfilters*2)
8     str0 = string(nfilters);
9     str1 = string(length(freqs));
10    error('Error. \nNumber of frequencies must be nfilters*2.\n ...
        nfilters = %s and number of freqs = %s',str0,str1)
11 end
12 X = fft(x,nfft);
13 N = length(X);
14 aux = 0;
15 pos_k = zeros(1,nfilters*2);
16 neg_k = zeros(1,nfilters*2);
17 for n = 1:nfilters
18     fc1 = freqs(n+aux);
19     fc2 = freqs(n*2);
20     pos_k(n+aux) = round((fc1*N/fs) + 1);
21     pos_k(n*2) = round((fc2*N/fs) + 1);
22     neg_k(n+aux) = round(((fs-fc2)*N/fs) + 1);
23     neg_k(n*2) = round(((fs-fc1)*N/fs) + 1);
24     X(pos_k(n+aux):pos_k(n*2)) = 0;
25     X(neg_k(n+aux):neg_k(n*2)) = 0;
26     aux = aux + 1;
27 end
28 frequency_filtered_signal = X;
29 time_filtered_signal = ifft(X,'symmetric');
30 time_filtered_signal = time_filtered_signal(1:length(x));
31 end

```

Inicialmente é retirada o ganho médio do sinal, assim eliminando o DC, então realiza-se a **fft** deste para o início da filtragem.

É necessário que se realize o calculo dos índices de frequência que estão relacionados as frequências desejadas, para isso é transformada a frequência em índice utilizando a equação 2.1, sendo f_i as frequências desejada, N o numero de amostras e f_s a frequência de amostragem. Como em Matlab os vetores se iniciam em 1, é necessário somar 1 ao resultado, os índices k encontrados estão localizados na Tabela 4.

$$k_i = \frac{f_i * N}{f_s} \quad (2.1)$$

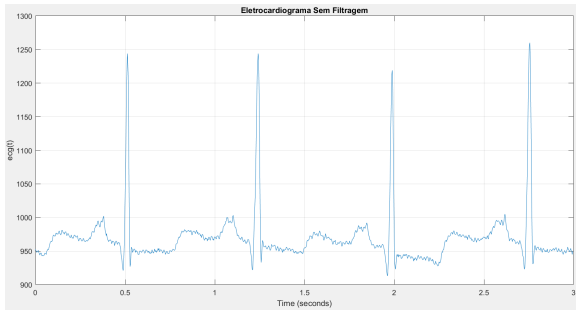
Por fim são zerados os valores dos índices.

Tabela 4 – Índices k encontrados para as frequências a serem filtradas.

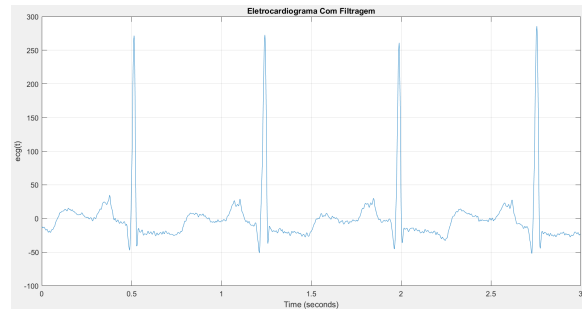
| Ind.\ Freq. | 0Hz | 1Hz | 58.5Hz | 61.5Hz | 101Hz | 180Hz |
|-------------|------|------|--------|--------|-------|-------|
| k_{pos} | 1 | 11 | 586 | 616 | 1011 | 1801 |
| k_{neg} | 3591 | 3601 | 2986 | 3016 | 1801 | 2591 |

2.5.2 Resultados de Filtragem

Na Tabela 4 estão os valores de frequências filtrados, os 2 últimos valores da banda de filtragem foram colocados, pois além de ser frequências que já não tem informações utilizadas pelo ECG, dentro da faixa tem 2 harmônicas de 60Hz. Com a Figura 11 é possível comparar o resultado da filtragem no domínio do tempo, já a Figura 12 tem a comparação no domínio de Fourier.

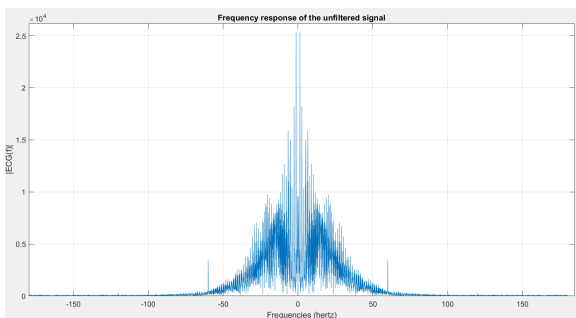


(a) Sinal sem filtragem.

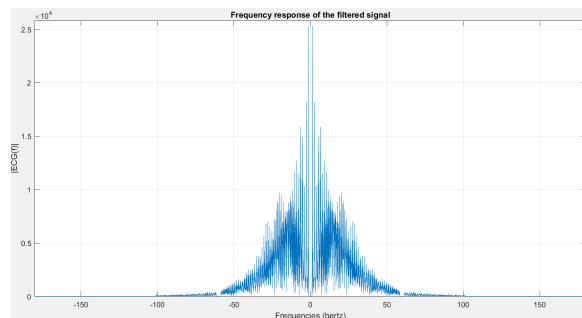


(b) Sinal com filtragem.

Figura 11 – Gráficos Tempo(s) x Tensão(mV).



(a) Sinal sem filtragem(Sem DC).



(b) Sinal com filtragem.

Figura 12 – Transformadas de Fourier do eletrocardiograma sem e com filtragem.

3 Questão 3

3.1 Item A

O sinal no domínio do tempo está plotado na Figura 13 e sua transformada de Fourier, retirando o ganho médio, está na Figura 14. Estas plotagens foram realizadas pelo *script* `quest3a.m`.

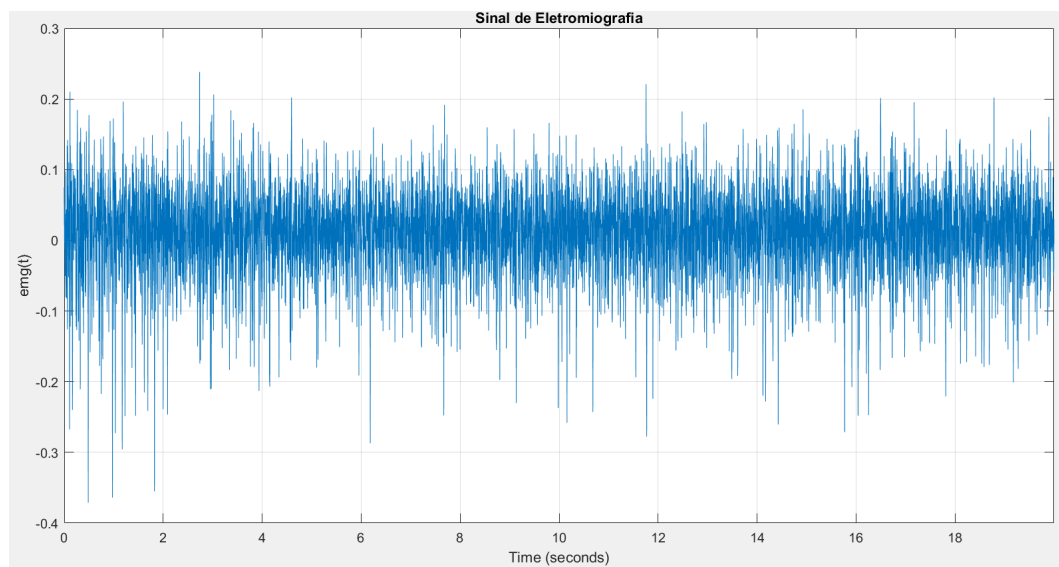


Figura 13 – Gráficos Tempo(s) x Tensão(mV) do Eletromiograma, `emg1.mat`.

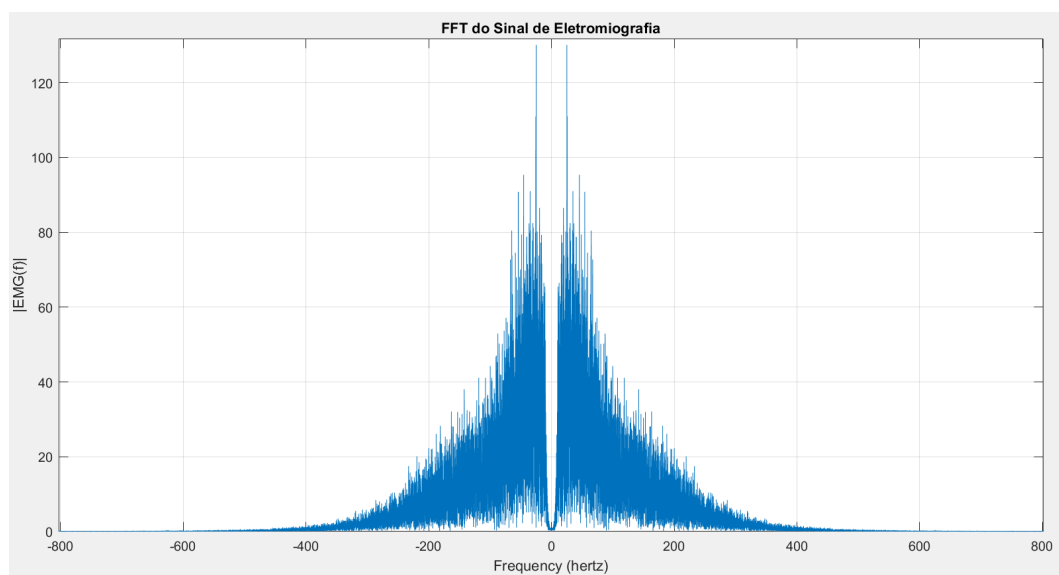


Figura 14 – Transformada de Fourier do Eletromiograma.

```
1      %quest3a.m
2      close all; clc; clear all;
3      load('emg1.mat', 'x', 'fs');
4      t = 0 : (1/fs) : length(x)/fs;
5      t = t(1 : length(x));
6      x = x-mean(x);
7      window_duration = 0.1;
8      figure;
9      plot(t, x);
10     xlim([0 max(t)])
11     xlabel('Time (seconds)');
12     ylabel('emg(t)');
13     title('Sinal de Eletromiografia')
14     grid on;
15
16     X = fft(x);
17     f = linspace(-0.5, 0.5, length(X))*fs;
18     figure;
19     plot(f, fftshift(abs(X)));
20     xlabel('Frequency (hertz)')
21     ylabel('|EMG(f)|')
22     title('FFT do Sinal de Eletromiografia')
23     grid on
```

3.2 Item B

Para esta questão foi criada a função `noising_signal`, ela cria n sinais de acordo com o numero de eventos a serem inseridos, duração, frequências e energia. Retornando o sinal com ruído aplicado e os índices onde os ruídos foram aplicados.

3.2.1 `noising_signal.m`

Inicialmente janelar-se o sinal para identificação da energia média, esta que é realizada em seguida com uma simples função `min_win_energy`.

As frequências possíveis para as senoides são calculadas e são alocadas em um vetor para serem enviada em seguida para a função `make_sinusoidal_signal`, que gerará sinais compostos pela soma de diversas senoides com amplitudes randômicas.

Por fim o ruído é aplicado no sinal pela função `noise_application`, que insere os eventos em locais aleatórios do sinal espaçados de por 2 vezes o numero de eventos.

```

1 function [noise_emg,noise_input]= ...
    noising_signal(x,fs>window_duration,...
2     events, min_freq,max_freq,min_energy);
3     [windowed_signal] = windowing(x>window_duration,fs);
4     [energy] = min_win_energy(windowed_signal,min_energy);
5     freqs_in_range = min_freq : 0.05: max_freq;
6     aux = 0;
7     f = zeros(1,events*2);
8     for n = 1:events
9         if n < (events)
10             f(n+aux)= freqs_in_range(n)*fs/2;
11             f(n+aux+1) = freqs_in_range(n+2)*fs/2;
12             aux= aux+1;
13         else
14             f(n+aux)= freqs_in_range(1)*fs/2;
15             f(n+aux+1) = freqs_in_range(end)*fs/2;
16         end
17     end
18     xs = zeros(events,round(window_duration*fs)+1);
19     aux=0;
20     for n = 1: events
21         xs(n,:) = make_sinusoidal_signal(f(n+aux),f(n+aux+1),...
22             50,fs>window_duration,energy);
23         figure;
24         plot(xs(n,:));
25         title(['Sinusoidal Signal ',num2str(n)])
26     end
27     [noise_emg,noise_input]= noise_application(x,xs,events);
28 end

```

3.2.1.1 min_win_energy.m

```

1 function [energy] = min_win_energy(windowed_signal,min_energy)
2     e = zeros(1,size(windowed_signal,1));
3     for n = 1 : size(windowed_signal,1)
4         e(n) = norm(windowed_signal(n,:))^2;
5     end
6     energy = min_energy*sum(e(:))/n;
7 end

```

3.2.1.2 make_sinusoidal_signal.m

```
1 function [x] = make_sinusoidal_signal(max_freq,...
2 min_freq,number_sines,fs,duration_seg,energy,min_energy)
3     t = 0 : 1 / fs : duration_seg;
4     div = (max_freq-min_freq)/number_sines;
5     freqs = min_freq : div : max_freq;
6     amp = randi(100,1,number_sines);
7     x1 = 0;
8     for k = 1 : number_sines
9         x1 = x1 + amp(k)*sin(2 * pi * freqs(k) * t);
10    end
11    X1 = fft(x1);
12    X1_aux = X1(1:round(length(X1)/2));
13    e = norm(X1_aux)^2;
14    if e>energy
15        X1 = reduce_energy(X1,energy,e);
16        x = ifft(X1,'symmetric');
17    else
18        x = x1;
19    end
20 end
21 function [X] = reduce_energy(X1,energy,e)
22     while e>energy
23         X1 = X1 - 0.05.*X1;
24         X1_aux = X1(1:round(length(X1)/2));
25         e = norm(X1_aux)^2;
26     end
27     X = X1;
28 end
```

3.2.1.3 noise_application.m

```

1 function [noise_signal,noise_input]= noise_application(x,noises,events)
2     if size(x,2)<size(x,1)
3         x = x.';
4     end
5     noise_signal = x;
6     space_between_noises = round(length(x)/(events*2));
7     aux = 0;
8     noise_input = zeros(events,2);
9     startpoint = randi([1 round(length(x)/events*2)]);
10    for n= 1:events
11        begin = n+(space_between_noises*(aux))+startpoint;
12        end_ = size(noises,2)+begin;
13        noise_signal(begin:end-1) = noise_signal(begin:end-1) + ...
            noises(n,:);
14        noise_input(n,:) = [begin end_];
15        aux = aux+1;
16    end
17 end

```

3.3 Item C

As Figuras 15 e 16, demonstram o sinal após ser inserido. Observando a Figura 15 com o sinal durante todo o período de amostragem não é possível notar nenhuma diferença.

Porém ao se ampliar o sinal, Figura 16, nota-se a inserção de algum ruído no sinal original, de acordo com a análise da figura, pode-se dizer que o ruído é composto por sinais de alta frequência.

Realizando agora a comparação entre as transformadas de Fourier do sinal original, Figura 14, e do sinal com eventos, Figura 17. É possível notar coeficientes maiores na faixa de frequência dos eventos adicionados. Porém não é possível determinar quantos eventos foram adicionados, só suas frequências predominantes. Para identificar os momentos em que foram adicionados os eventos basta realizar o cálculo da equação 3.1.

$$event_time = \frac{noise_input_i}{f_s} \quad (3.1)$$

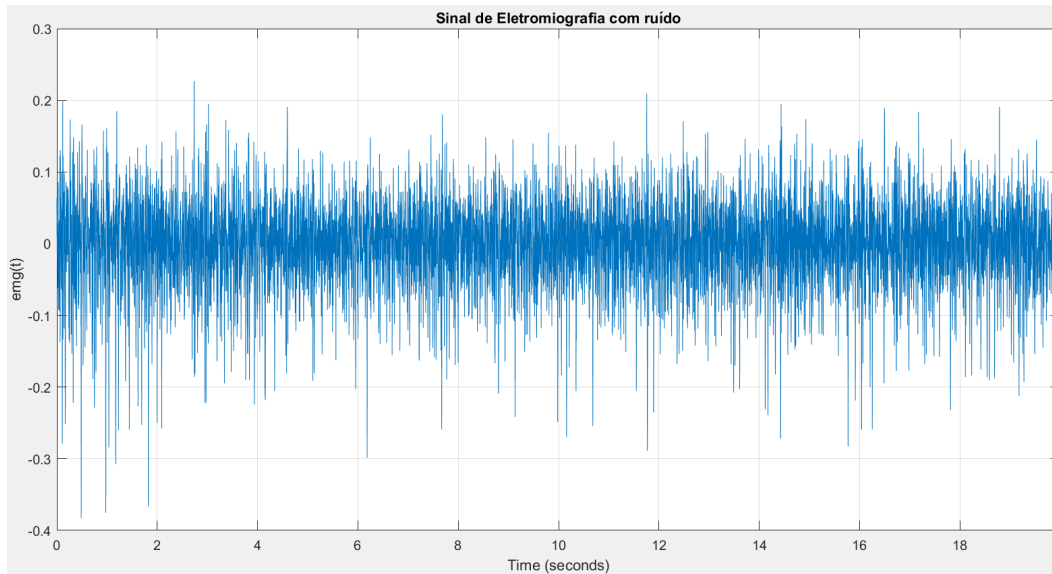
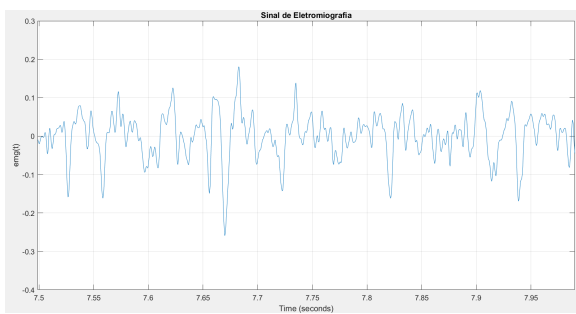
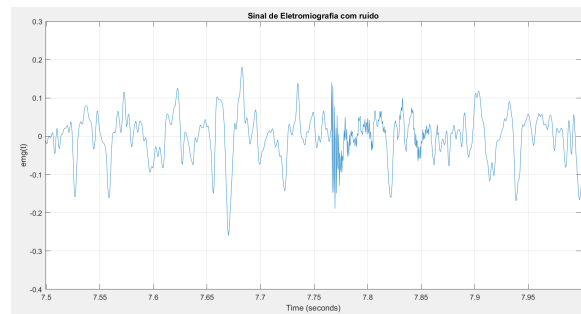


Figura 15 – Gráficos Tempo(s) x Tensão(mV) do Eletromiograma com eventos inseridos.



(a) EMG sem eventos.



(b) EMG com eventos.

Figura 16 – Comparação de faixa de tempo sem evento com faixa com evento.

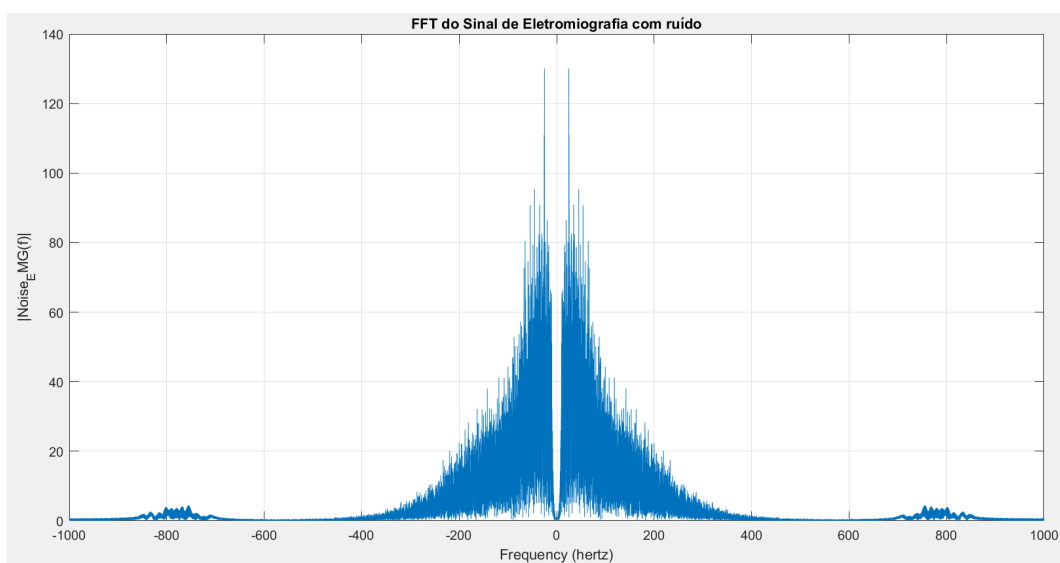


Figura 17 – Transformada de Fourier do Eletromiograma com eventos inseridos.

3.4 Item D

Para esta questão foi criado o *script* `quest3d.m`, vale lembrar que como a função `noising_signal` gera valores aleatórios, os eventos nesta questão estão alocados em locais diferentes. Os gráficos gerados pelos filtros de decomposição de Daubechie 10, *db10*, nos níveis pedidos estão nas Figuras 18, 19 e 20.

```
1 %quest3d.m
2 load('emg1.mat','x','fs');
3 min_energy=0.7;
4 events = 3;
5 [noise_emg,noise_input]= noising_signal(x,fs>window_duration,...
6     events, 0.7,0.9,min_energy);
7 [h00, h10] = wfilters('db10','d');
8 for levels = 3:5
9     [xd, xdc, h] = qmf_decomposition(noise_emg, h00, h10, levels);
10    figure;
11    plot_frequency_responses_iterated_filters(h);
12    figure;
13    plot(xd);
14    title(['Transformada db10 do sinal de EMG, com ...
15          ',num2str(levels)])
16 end
17 pause;close all;
18 [h00, h10] = wfilters('sym8','d');
19 for levels = 3:5
20     [xd, xdc, h] = qmf_decomposition(noise_emg, h00, h10, levels);
21     figure;
22     plot_frequency_responses_iterated_filters(h);
23     figure;
24     plot(xd);
25     title(['Transformada sym8 do sinal de EMG, com ...
26           ',num2str(levels)])
27 end
28 pause;close all;
29 [h00, h10] = wfilters('coif2','d');
30 for levels = 3:5
31     [xd, xdc, h] = qmf_decomposition(noise_emg, h00, h10, levels);
32     figure;
33     plot_frequency_responses_iterated_filters(h);
34     figure;
35     plot(xd);
36     title(['Transformada coif2 do sinal de EMG, com ...
37           ',num2str(levels)])
38 end
```

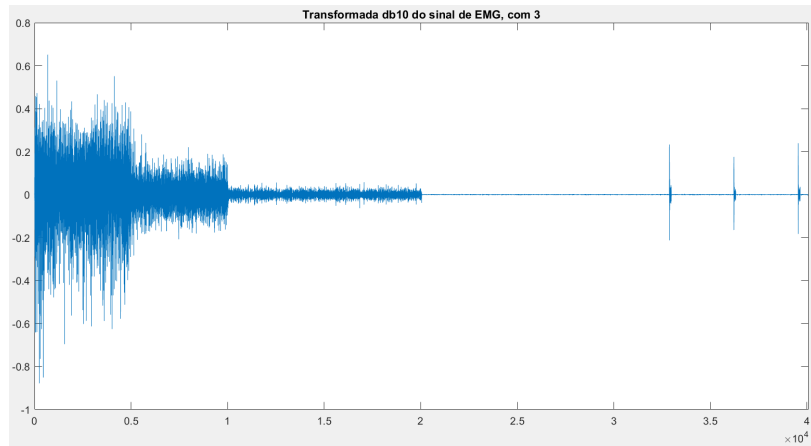


Figura 18 – 3 níveis.

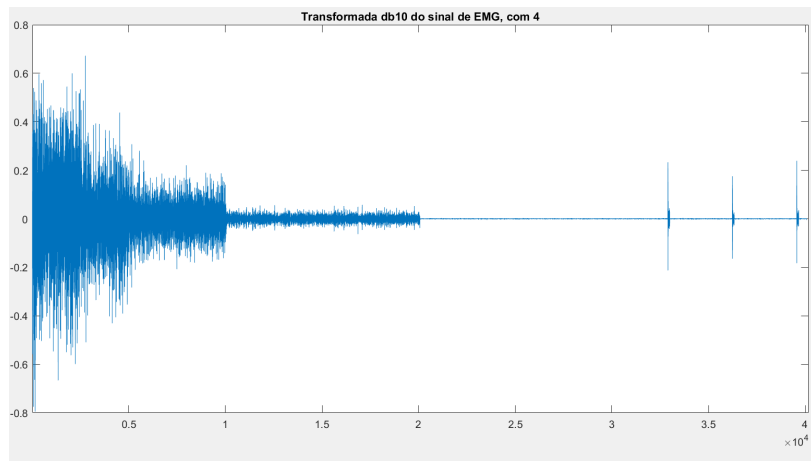


Figura 19 – 4 níveis.

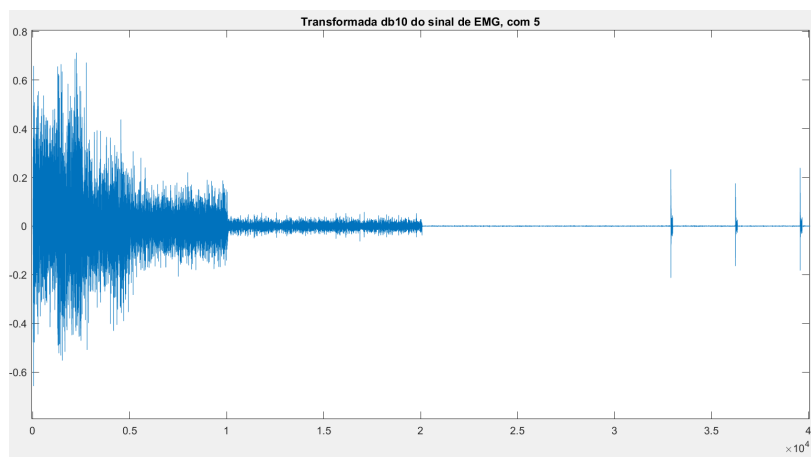


Figura 20 – 5 níveis.

3.5 Item E

Utilizou-se o script `quest3e.m`, para a realização da questão.

```

1   load('emg1.mat', 'x', 'fs');
2   x=x - mean(x);
3   wind_duration = 0.25;
4   t = 0 : (1/fs) : length(x)/fs;
5   t = t(1 : length(x));
6   Nfft = 10000;
7   levels = 4;
8   [h0, h1] = wfilters('db10', 'd');
9   min_energy = 0.7;
10  events = 3;
11  [noise_emg, noise_input]= noising_signal(x, fs, 0.1, ...
12      events, 0.7, 0.9, min_energy);
13  time_input = noise_input(:)/fs;
14  spect1 = signal_spec(noise_emg, fs, wind_duration, Nfft);
15  scalogram1 = qmf_spec(noise_emg, h0, h1, levels);
16  figure;
17  a = axes;
18  imagesc(0:(length(x)/fs)/Nfft:round(length(x)/fs), ...
19      0:1:((0.5*fs*(1-1/size(scalogram1,1)))/...
20      (0.5*fs/size(scalogram1,1)))+1, ...
21      flipud(scalogram1));
22  set(a, 'YDir', 'normal');
23  xlabel('Tempo');
24  ylabel('Frequencia');
25  title('Espectrograma com base na decomposicao QMF, sinal com ...
26      eventos');
27  caxis([min(scalogram1(:)), max(scalogram1(:))*0.1]);
28  colormap jet;
29  colorbar;
30  figure;
31  colormap jet;
32  imagesc(0:(length(x)/fs)/Nfft:round(length(x)/fs), ...
33      wrev(0:0.5*fs/size(spect1,1):0.5*fs*(1-1/size(spect1,1))), spect1);
34  xlabel('Tempo [s]');
35  ylabel('Frequencia [Hz]');
36  title('Espectrograma com base na Transformada janelada de ...
37      Fourier, sinal com eventos');
38  ax = gca;
39  ax.YDir = 'normal';
40  colorbar;
41  caxis([min(spect1(:)), max(spect1(:))*0.1]);

```

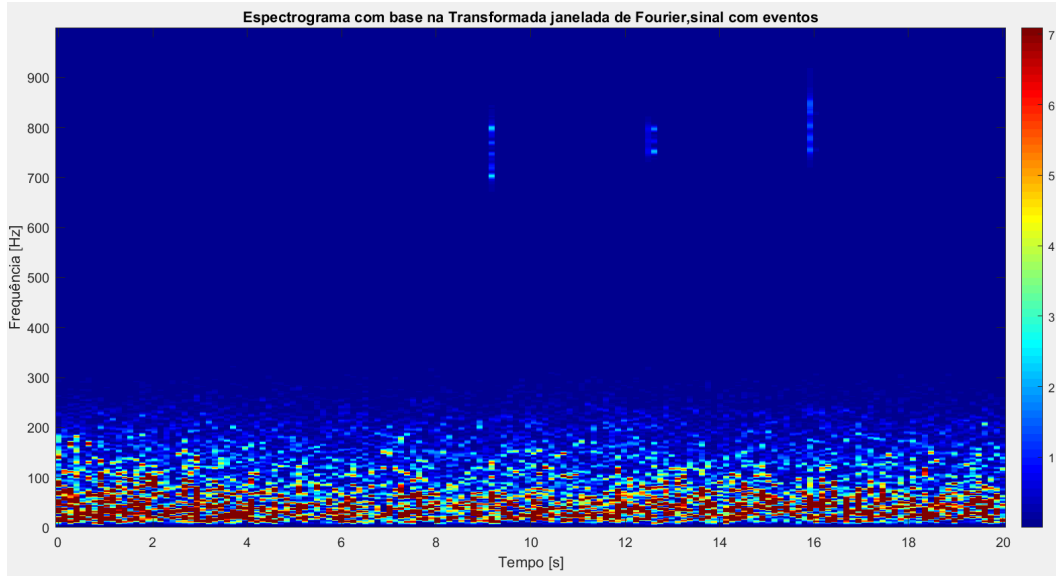


Figura 21 – Visão geral do espectrograma do sinal com eventos.

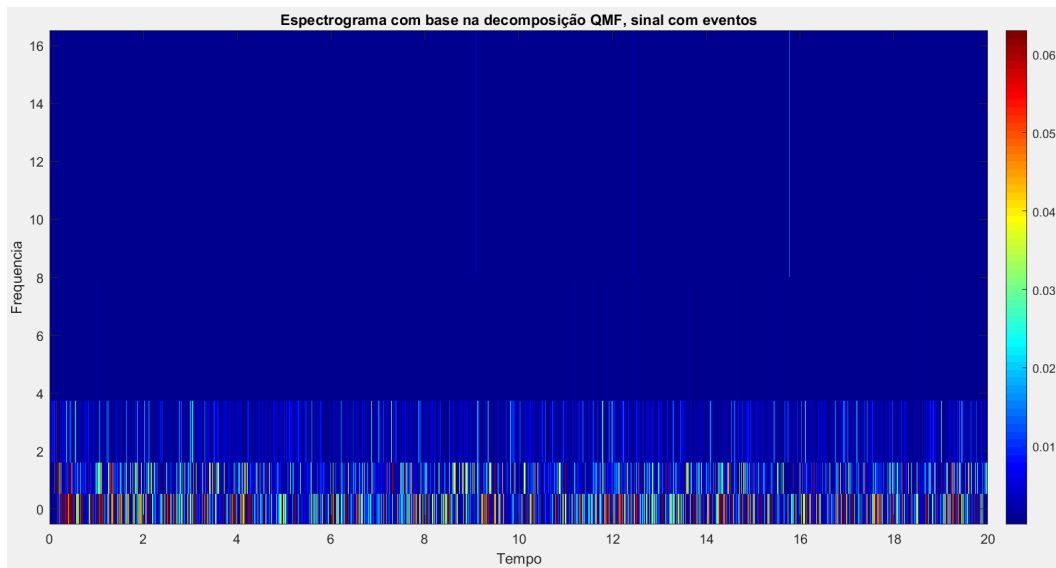


Figura 22 – Visão geral do escalograma do sinal com eventos.

O resultado do espectrograma utilizando a transformada janelada de Fourier, Figura 21, possibilita uma análise mais acurada das frequências de cada evento, porém por conta do *overlap* das janelas existe um espaçamento dos eventos no sinal ao se analisar o tempo destes não sendo exato o momento dos eventos, Figura 23.

Pela decomposição QMF é possível visualizar também a existência de 3 eventos, Figura 22, porém não é possível definir as frequências que compõe o sinal, só a escala destas, no caso são altas frequência. De forma geral é possível determinar com mais exatidão a localização temporal dos eventos, Figura 24, provando assim o afirmado na secção 1.8.

```

1 >> noise_input
2 noise_input =
3      18188      18388
4      24856      25056
5      31524      31724
6 >> 18188/fs
7 ans = 9.0940
8 >> 18388/fs
9 ans = 9.1940

```

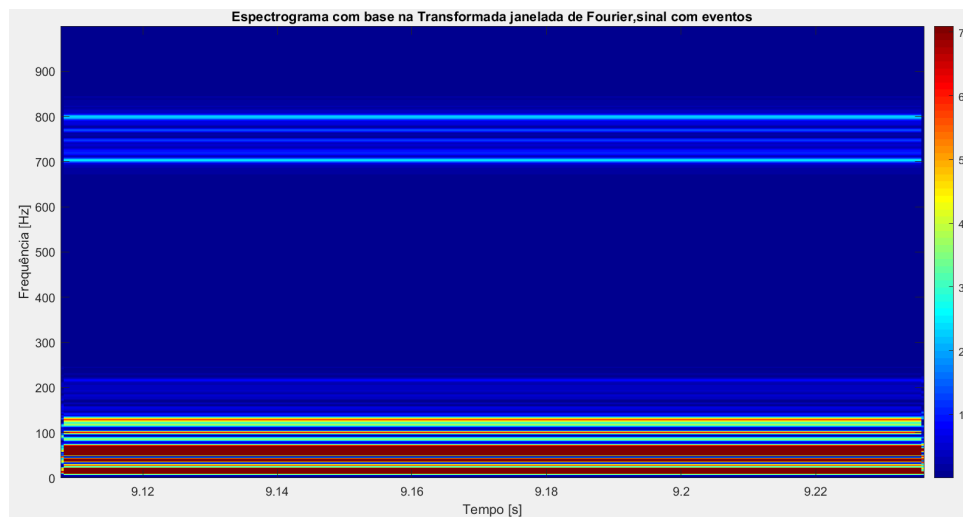


Figura 23 – Transformada janelada de Fourier, com zoom no momento do evento.

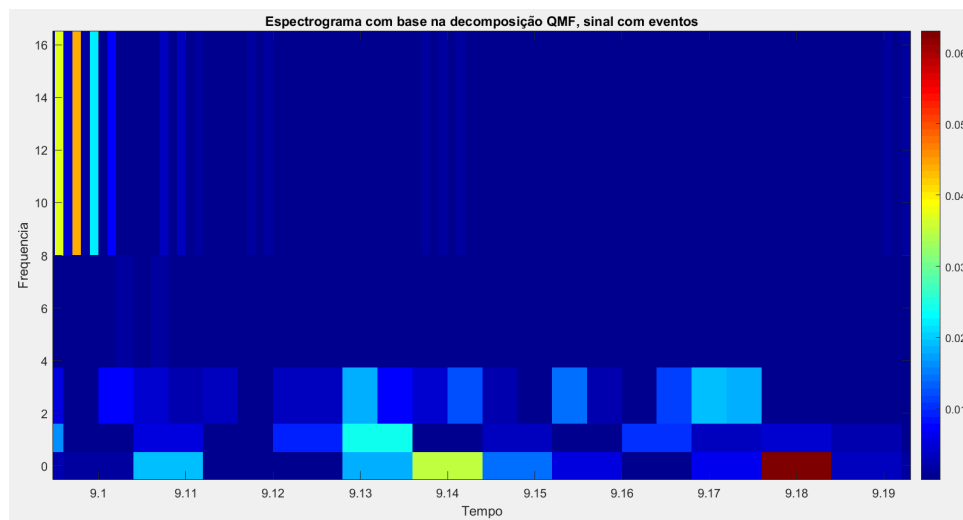


Figura 24 – Decomposição QMF, com zoom no momento do evento.

4 Questão 4

4.1 Item A

Para a realização deste item foi criada a função `NMcoefs`, os resultados foram plotados utilizando o *script* `quest4a.m` abaixo.

```

1 %quest4a.m
2 clear all; close all; clc;
3 load('../Q2/ecg_1.mat');
4 x=x-mean(x);
5 [h0,h1] = wfilters('db4','d');
6 levels = 4;
7 [x_nmcoefs, ~] = NMcoefs(x,h0,h1, levels, 5);
8 figure;plot(x_nmcoefs);
9 title('Decomposition with 5 percent of coefficients')
10 [x_nmcoefs, ~] = NMcoefs(x,h0,h1, levels, 55);
11 figure;plot(x_nmcoefs);
12 title('Decomposition with 55 percent of coefficients')
13 grid on;
14 [x_nmcoefs, ~] = NMcoefs(x,h0,h1, levels, 100);
15 figure;plot(x_nmcoefs);
16 title('Decomposition with 100 percent of coefficients')
17 grid on;

```

4.1.1 NMcoefs.m

A função realiza o calculo de quantos coeficientes representam a porcentagem inserida pelo usuário, com este valor é utilizado a função disponível no Matlab denominada `maxk` que tem com saída o numero setado como *coefs* de coeficientes máximos e os seus índices. Com isso é alocado a saída `x_nmcoefs` estes coeficientes calculados. Também é enviado como saída os tamanhos dos sinais gerados pela decomposição.

```

1 function [x_nmcoefs, lengths] = NMcoefs(x,h0,h1, levels, NM)
2     coefs = round(NM*length(x)/100);
3     [xd, xdc, ~] = qmf_decomposition(x, h0, h1, levels);
4     lengths = cellfun(@length, xdc);
5     [xd_coefs,xd_index] = maxk(xd,coefs,'ComparisonMethod','abs');
6     x_nmcoefs = zeros(1, length(xd));
7     x_nmcoefs(xd_index(1:coefs)) = xd_coefs;
8 end

```

4.1.2 Resultados

Foi realizada uma plotagem com intuito de comparação do resultado da reconstrução com diferentes porcentagens de coeficientes, Figura 25.

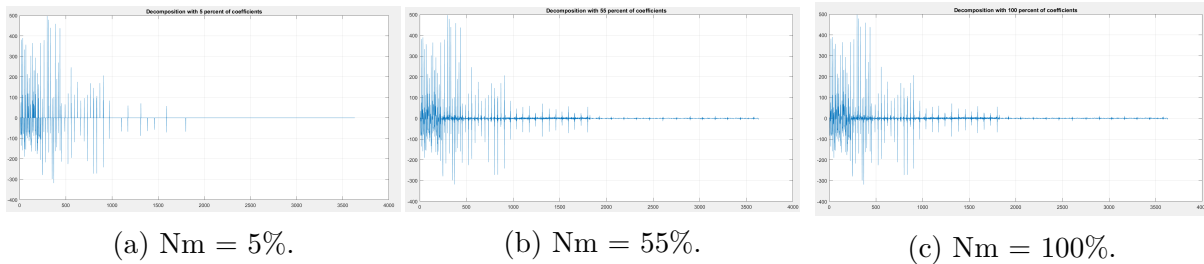


Figura 25 – Resultado da decomposição com $N_m\%$ de coeficientes.

4.2 Item B

Para a realização deste item foi criada a função `inverse_with_NMcoefs`, os resultados foram plotados utilizando o *script* `quest4b.m` abaixo.

```

1 %quest4b.m
2 clear all; close all; clc;
3 load('../Q2/ecg_1.mat');
4 x=x-mean(x);
5 [h0,h1,g0,g1] = wfilters('db4');
6 levels = 4;
7 [x_nmcoefs, lengths] = NMcoefs(x,h0,h1, levels, 5);
8 [xr] = inverse_with_NMcoefs(x_nmcoefs, lengths, h0,h1,g0,g1);
9 figure;plot(0:1/fs:((length(x)-1)/fs),xr);
10 title('Reconstruction with 5 percent of coefficients')
11 grid on;
12 [x_nmcoefs, lengths] = NMcoefs(x,h0,h1, levels, 55);
13 [xr] = inverse_with_NMcoefs(x_nmcoefs, lengths, h0,h1,g0,g1);
14 figure;plot(0:1/fs:((length(x)-1)/fs),xr);
15 title('Reconstruction with 55 percent of coefficients')
16 grid on;
17 [x_nmcoefs, lengths] = NMcoefs(x,h0,h1, levels, 100);
18 [xr] = inverse_with_NMcoefs(x_nmcoefs, lengths, h0,h1,g0,g1);
19 figure;plot(0:1/fs:((length(x)-1)/fs),xr);
20 title('Reconstruction with 100 percent of coefficients')
21 grid on;

```


4.2.1 inverse_with_NMcoefs.m

Os tamanhos dos sinais da decomposição que é uma saída da função da secção 4.1.1 serão utilizados para a alocação correta de cada nível. Alocados os coeficientes de cada nível basta ser utilizada a função `qmf_reconstruction`.

```

1 function [xr] = inverse_with_NMcoefs(x_nmcoefs, lengths, h0,h1,g0,g1)
2     xdc = cell(1,length(lengths));
3     for l = 1:length(lengths)
4         xdc{l} = x_nmcoefs(1:lengths(l));
5         x_nmcoefs(1:lengths(l)) = [];
6     end
7     [xr, -, -] = qmf_reconstruction(xdc, h0, h1, g0, g1);
8 end

```

4.2.2 Resultados

As Figuras 26, 27 e 28, foram geradas com intuito de demonstrar a diferença entre o sinal original e o reconstruído com as diferentes quantidades de coeficientes. Nota-se que com 5% o sinal gerado tem um encaixe alto com o sinal original, e já com 55% as diferenças são muito baixas.

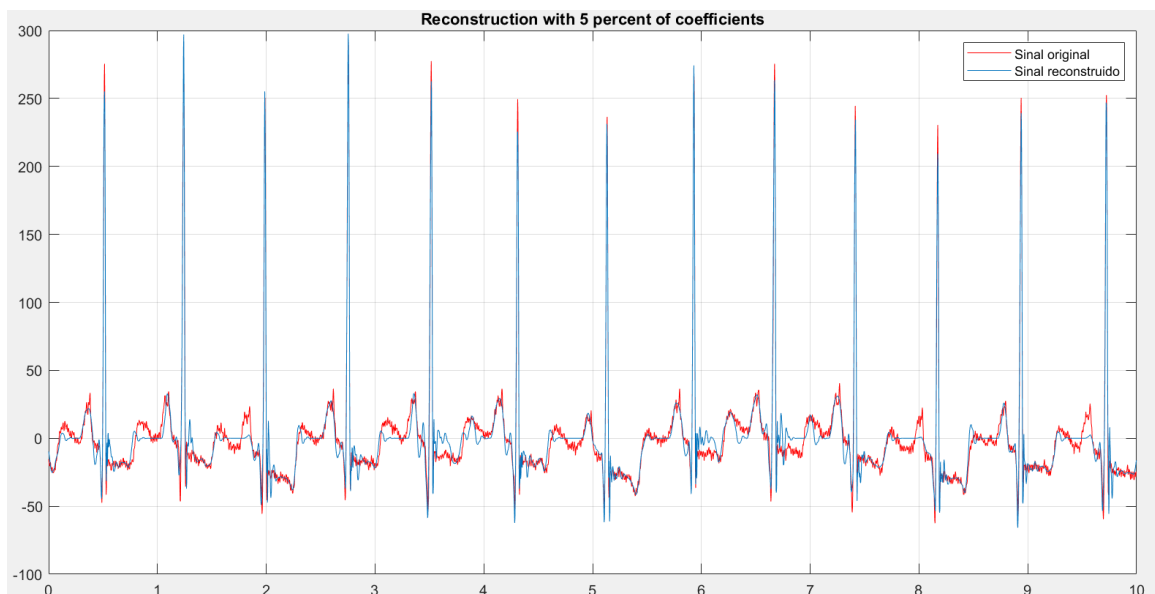


Figura 26 – Resultado da reconstrução com $N_m = 5\%$ de coeficientes.

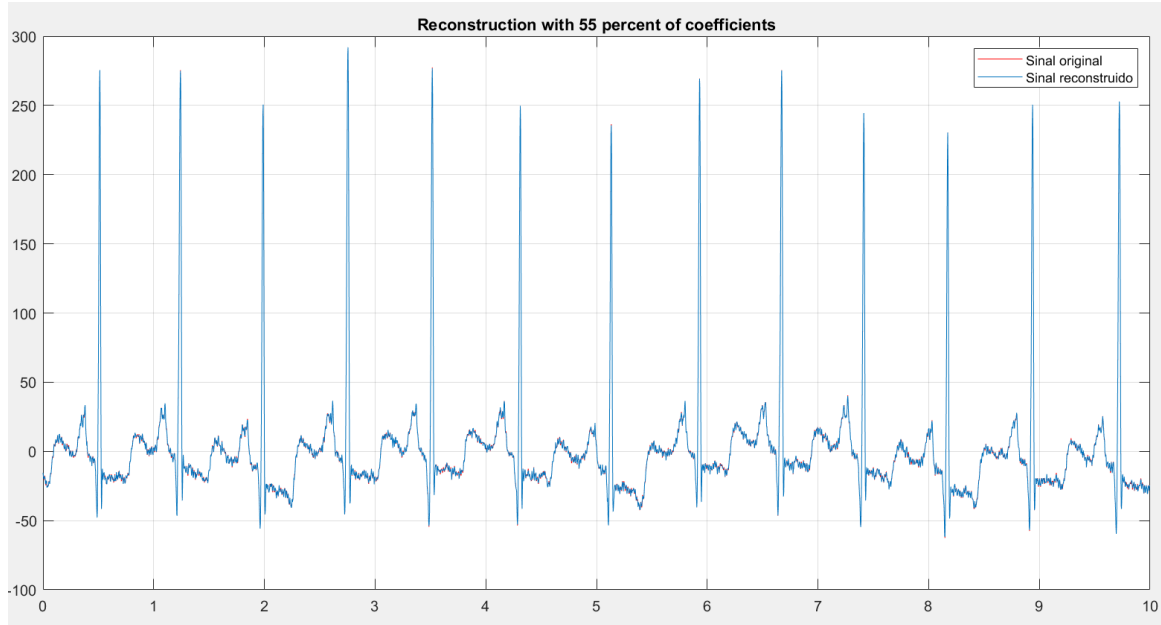


Figura 27 – Resultado da reconstrução com $N_m = 55\%$ de coeficientes.

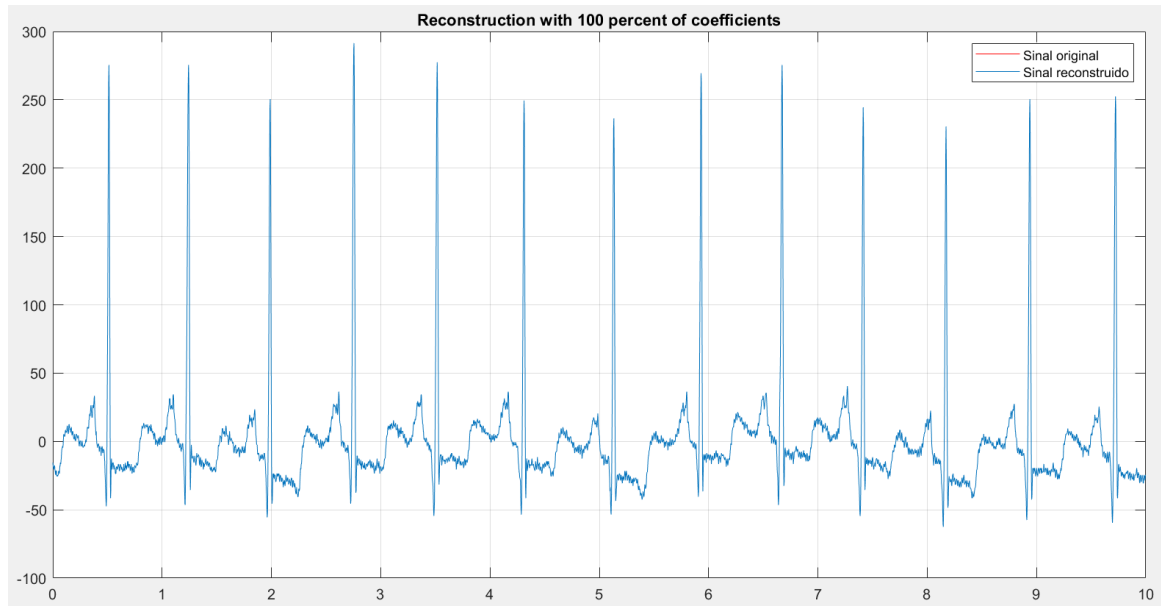


Figura 28 – Resultado da reconstrução com $N_m = 100\%$ de coeficientes.

4.3 Item C

Para esta questão foi criado o *script* `quest4c.m`, onde inicialmente foi realizado a decomposição e reconstrução com N_m de 5% à 100%, logo em seguida o calculo da relação sinal-ruído (SNR_{dB}) dos sinais reconstruídos em função do sinal original. E por fim encontrou-se o menor valor de N_m que produz uma SNR_{dB} de pelo menos 30 dB.

A Figura 29 é a curva resultante do valor da SNR_{dB} pela porcentagem de coeficientes N_m e a Figura 30 é o sinal reconstruído com a menor porcentagem que resultou no

mínimo de 30 dB. Nota-se que o sinal se parece muito com um sinal resultante de uma filtragem passa-baixa e manteve bem as características do sinal original.

```

1 clear all; close all; clc;
2 load('../Q2/ecg_1.mat');
3 x=x-mean(x);
4 NM = 5:1:100;
5 [h0,h1,g0,g1] = wfilters('db4');
6 levels = 4;
7 n=1;
8 xr = zeros(length(NM),length(x));
9 aux=0;
10 for n = min(NM):1:max(NM)
11     aux = aux+1;
12     [xNM, lens] = NMcoefs(x,h0,h1, levels, n);
13     [xr(aux,:)] = inverse_with_NMcoefs(xNM, lens,h0,h1,g0,g1);
14 end
15 SNR = zeros(1, length(NM));
16 for k = 1:aux
17     SNR(k) = 20*log10(norm(x)/norm(x-xr(k,:).'));
18 end
19 figure('units','normalized','outerposition',[0 0 1 1]);
20 plot(NM,SNR);
21 title('Relacao Sinal-Ruido')
22 xlabel('Nm coeficientes');
23 ylabel('SNR_{dB}')
24 grid on; grid minor;
25 aux = 0;
26 snr_find = 0;
27 while snr_find<30
28     aux = aux+1;
29     snr_find = SNR(aux);
30 end
31 figure('units','normalized','outerposition',[0 0 1 1]);
32 plot(0:1/fs:((length(x)-1)/fs),x,'r');hold on
33 plot(0:1/fs:((length(x)-1)/fs),xr(aux,:));
34 title(['Reconstruction with ', num2str(aux), ' percent of coefficients'])
35 ylabel('mV')
36 xlabel('Time(s)')
37 legend('Sinal original','Sinal reconstruido')
38 grid on;

```

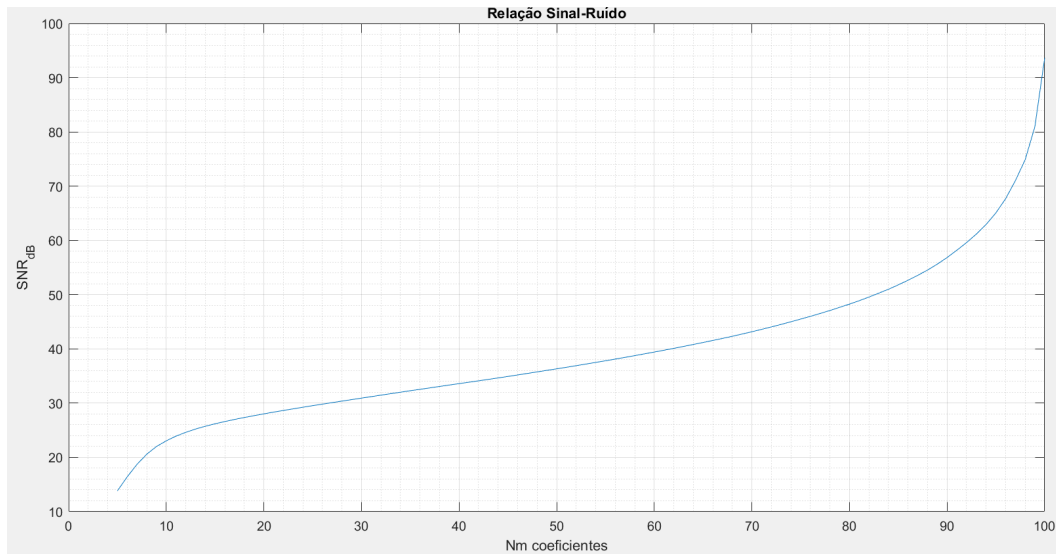


Figura 29 – Relação sinal-ruído por porcentagem de coeficientes de decomposição.

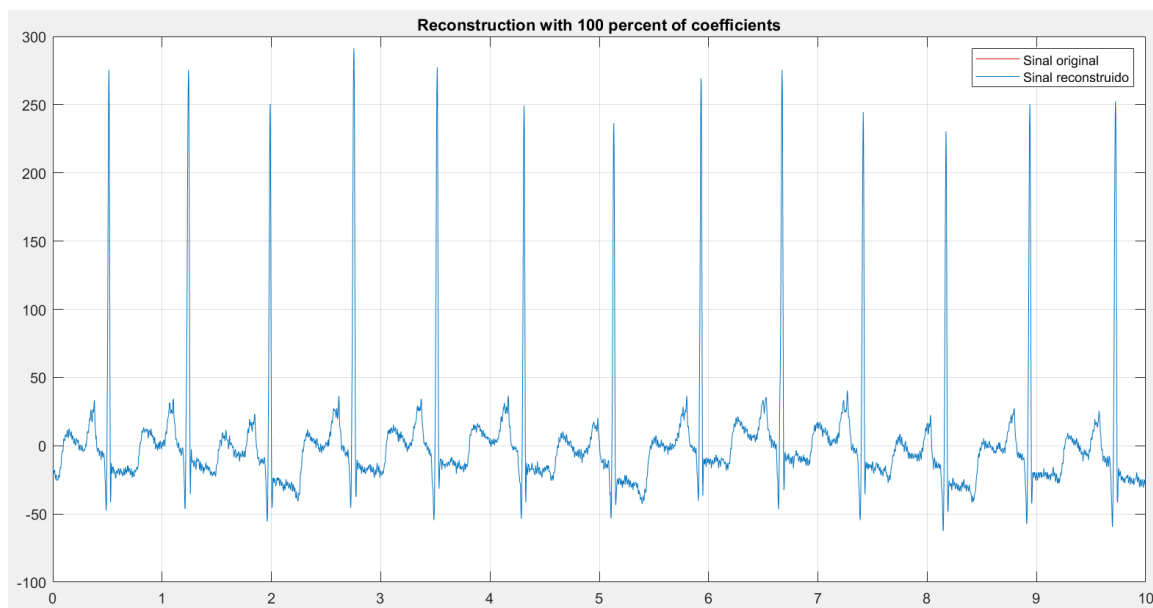


Figura 30 – Resultado da reconstrução com $N_m = 23\%$ de coeficientes.

4.4 Item D

Os principais valores para permitir a reconstrução são do complexo QRS, pois a partir destes os outros pontos são localizados. Para uma ótima reconstrução acrescentaria as ondas P e T.

5 Questão 5

5.1 extract_signals.m

```

1     function [x_a,x_b,x_c,x_d,x_e] = extract_signals();
2     D = dir('setA\*.txt');
3     for k = 1:length(D)
4         x_a{k} = dlmread(['setA/Z' sprintf('%03d', k) '.txt']);
5     end
6     D = dir('setB\*.txt');
7     for(k = 1 : length(D))
8         x_b{k} = dlmread(['setB/O' sprintf('%03d', k) '.txt']);
9     end
10    D = dir('setC\*.txt');
11    for(k = 1 : length(D))
12        x_c{k} = dlmread(['setC/N' sprintf('%03d', k) '.txt']);
13    end
14    D = dir('setD\*.txt');
15    for(k = 1 : length(D))
16        x_d{k} = dlmread(['setD/F' sprintf('%03d', k) '.txt']);
17    end
18    D = dir('setE\*.txt');
19    for(k = 1 : length(D))
20        x_e{k} = dlmread(['setE/S' sprintf('%03d', k) '.txt']);
21    end
22 end

```

5.2 Item A

Para se realizar a questão foi criado o *script* `questao5a.m` e utilizou-se as funções `carac_time_frequency` e `extract_signals`.

No *script* da questão foi realizada uma forma para visualização dos valores de todos os sinais. Os resultados encontrados para os primeiros sinais de cada grupo se encontra na Tabela 5.

Tabela 5 – Médias das características da Janelas, para os 5 grupos.

| Grupos | FMediana | FMedia | FModal | VMR | RMS |
|--------|----------|--------|--------|--------|--------|
| A | 5.4229 | 7.0337 | 2.4501 | 33.62 | 42.868 |
| B | 6.4542 | 7.3474 | 2.6752 | 39.075 | 49.048 |
| C | 2.7336 | 3.736 | 2.1751 | 38.295 | 48.418 |
| D | 1.7974 | 3.6314 | 1.4001 | 23.455 | 28.721 |
| E | 7.3273 | 9.026 | 3.6752 | 360.43 | 474.38 |

```

1      clear all;close all;clc
2  fs = 173.61;
3  window_duration = 5;
4  overlap = 0.5;
5  window_type = @hamming;
6  [x_a,x_b,x_c,x_d,x_e] = extract_signals();
7  M_mv = zeros(5);
8  for n = 1: 100
9      [signal_rmsA, signal_mvA, ...
        freq_modA,freq_meanA,freq_medA,carac_matrixA]...
10     = carac_time_frequency...
11     (x_a{n},fs>window_duration>window_type,overlap);
12     [signal_rmsB, signal_mvB, ...
        freq_modB,freq_meanB,freq_medB,carac_matrixB]...
13     = carac_time_frequency...
14     (x_b{n},fs>window_duration>window_type,overlap);
15     [signal_rmsC, signal_mvC, ...
        freq_modC,freq_meanC,freq_medC,carac_matrixC]...
16     = carac_time_frequency...
17     (x_c{n},fs>window_duration>window_type,overlap);
18     [signal_rmsD, signal_mvD, ...
        freq_modD,freq_meanD,freq_medD,carac_matrixD]...
19     = carac_time_frequency...
20     (x_d{n},fs>window_duration>window_type,overlap);
21     [signal_rmsE, signal_mvE, ...
        freq_modE,freq_meanE,freq_medE,carac_matrixE]...
22     = carac_time_frequency...
23     (x_e{n},fs>window_duration>window_type,overlap);
24     M_mv = [mean(freq_medA) mean(freq_meanA) mean(freq_modA)...
25             mean(signal_mvA) mean(signal_rmsA);
26             mean(freq_medB) mean(freq_meanB) mean(freq_modB)...
27             mean(signal_mvB) mean(signal_rmsB);
28             mean(freq_medC) mean(freq_meanC) mean(freq_modC)...
29             mean(signal_mvC) mean(signal_rmsC);
30             mean(freq_medD) mean(freq_meanD) mean(freq_modD)...
31             mean(signal_mvD) mean(signal_rmsD);
32             mean(freq_medE) mean(freq_meanE) mean(freq_modE)...
33             mean(signal_mvE) mean(signal_rmsE)];
34     tabelaMV = array2table(M_mv,...
35     'VariableNames',{'FMediana','FMedia','FModal','VMR','RMS'});
36     tabelaMV.Properties.RowNames = {'A','B','C','D','E'};
37     tabelaMV
38     pause; close all;
39 end

```

5.2.1 carac_time_frequency.m

Para a extração das características no domínio do tempo, o sinal foi janelado com uma janela retangular, assim não havendo alterações das suas características neste domínio, após isso as características pedidas foram extraídas com funções do próprio MATLAB.

Já para a frequência modal, o sinal foi janelado de acordo com a janela setada pelo usuário, após foi realizada a FFT do sinal janelado e retirando-se as frequências negativas, logo após foi necessário a conversão para a frequência em Hertz, assim utilizando a função `max` foi encontrada a frequência modal normalizada.

```

1     function [signal_rms, signal_mv, ...
           freq_mod, freq_mean, freq_med, carac_matrix] ...
2     = ...
           carac_time_frequency(x, fs, window_duration, window_type, overlap, n_fft)
3     N_window= round(window_duration*fs);
4     x = x-mean(x);
5     if ~exist('window_type')
6         window_type = @hamming;
7     end
8     if ~exist('n_fft')
9         n_fft = N_window;
10    end
11    if ~exist('overlap')
12        overlap = 0.5;
13    end
14    w = window_type(N_window);
15    rectan = rectwin(N_window);
16    if size(x,2) > size(x,1)
17        w = w.';
18        rectan = rectan.';
19    end
20    window_shift = round((1-overlap)*N_window);
21    begin = 1;
22    end_ = N_window;
23    n=1;
24    L = round(length(x)/window_shift);
25    signal_rms = zeros(L,1);
26    signal_mv = zeros(L,1);
27    freq_mod = zeros(L,1);
28    freq_mean = zeros(L,1);
29    freq_med = zeros(L,1);
30    while end_<length(x)
31        time_signal = x(begin:end_).*rectan;
32        signal_rms(n,1) = rms(time_signal);

```

```

33     signal_mv(n,1) = mean(abs(time_signal));
34     w_signal_aux = x(begin:end_).*w;
35     W_signal_aux = fft(w_signal_aux,n_fft);
36     W_signal = W_signal_aux(1:floor(n_fft/2));
37     WX = abs(W_signal).^2;
38     [~,freq] = max(WX);
39     freq_mod(n,1) = freq*fs/(length(WX)*2);
40     freq_mean(n,1) = meanfreq(time_signal,fs);
41     freq_med(n,1) = medfreq(time_signal,fs);
42     begin = begin + window_shift;
43     end_ = end_ + window_shift;
44     n= n + 1;
45 end
46 signal_rms = signal_rms(1:n-1,:);
47 signal_mv = signal_mv(1:n-1,:);
48 freq_mod = freq_mod(1:n-1,:);
49 freq_mean = freq_mean(1:n-1,:);
50 freq_med = freq_med(1:n-1,:);
51 carac_matrix = [signal_rms signal_mv freq_mod freq_mean...
52               freq_med];
53 end

```

5.3 Item B

O *script* para esta questão é bem parecido com o `quest5a.m` por tanto não será explicitado. A função da secção 5.2.1, recebeu algumas alterações para extrair as proporções de energia de cada tipo de onda, será explicitado a diferença a partir da linha 30 da função, secção 5.4.

A função `energy_bands` foi inserida para extração das energias para cada banda característica das ondas. Os resultados encontrados para os primeiros sinais de cada grupo se encontra na Tabela 6.

Tabela 6 – Médias das porcentagens de energia relacionada a cada onda por janela.

| Grupos | DELTA(δ) | TETA(θ) | ALFA(α) | BETA(β) | GAMA(γ) |
|--------|-------------------|------------------|------------------|-----------------|------------------|
| A | 45.533 | 15.548 | 32.278 | 7.7824 | 0.51003 |
| B | 43.334 | 9.4948 | 41.685 | 6.0285 | 0.72524 |
| C | 70.215 | 22.386 | 9.3734 | 0.9714 | 0.12033 |
| D | 79.229 | 12.487 | 8.8922 | 2.1686 | 0.49982 |
| E | 34.597 | 16.671 | 32.05 | 13.873 | 0.30806 |

5.4 carac_time_frequency_energy.m

```

1      ...
2      E = zeros(L,5);
3      Epercent = zeros(L,5);
4      while end_<length(x)
5          time_signal = x(begin:end_).*rectan;
6          signal_rms(n,1) = rms(time_signal);
7          signal_mv(n,1) = mean(abs(time_signal));
8          w_signal_aux = x(begin:end_).*w;
9          W_signal_aux = fft(w_signal_aux,n_fft);
10         W_signal = W_signal_aux(1:floor(n_fft/2));
11         WX = (W_signal);
12         [i,freq] = max(WX);
13         freq_mod(n,1) = freq*fs/(length(WX)*2);
14         freq_mean(n,1) = meanfreq(x(begin:end_),fs);
15         freq_med(n,1) = medfreq(x(begin:end_),fs);
16         begin = begin + window_shift;
17         end_ = end_ + window_shift;
18         f = linspace(0, 0.5, length(WX))*fs;
19         if n == 1
20             [E(1,:), num0, den0] = energy_bands(w_signal_aux,fs);
21         else
22             [E(n,:), num0, den0] = energy_bands(w_signal_aux,fs,...
23                 num0, den0);
24         end
25         n= n + 1;
26     end
27     signal_rms = signal_rms(1:n-1,:);
28     signal_mv = signal_mv(1:n-1,:);
29     freq_mod = freq_mod(1:n-1,:);
30     freq_mean = freq_mean(1:n-1,:);
31     freq_med = freq_med(1:n-1,:);
32     E = E(1:n-1,:);
33     Epercent = Epercent(1:n-1,:);
34     carac_matrix = [signal_rms signal_mv freq_mod freq_mean...
35         freq_med E];
36 end

```

5.4.1 energy_bands.m

Função que adquire as porcentagens de energias para as bandas das ondas características do EEG em relação a janela.

```

1  function [E, num, den] = energy_bands(x, fs, num0, den0)
2  maximum_frequency_hertz = fs/2;
3  number_bands = 5;
4  filter_tol = 1e-5;
5  iir_type = @butter;
6  maximum_order = 15;
7  maximum_normalized_frequency = maximum_frequency_hertz/fs;
8  bands = [0 4/fs; 4/fs 7/fs; 7/fs 15/fs; 16/fs 31/fs; 32/fs ...
           maximum_normalized_frequency];
9  Ewindow = norm(x)^2;
10 E = zeros(1,number_bands);
11 if (~exist('num0')) || (~exist('den0'))
12     num{number_bands} = [];
13     den{number_bands} = [];
14     for b = 1 : number_bands
15         [num{b}, den{b}] = ...
16             iir_design(iir_type, maximum_order, ...
17                 filter_tol, bands(b, :));
18     end
19 else
20     num = num0;
21     den = den0;
22 end
23 for b = 1 : number_bands
24     x_ = filter(num{b}, den{b}, x);
25     E(1, b) = 100*(norm(x_) ^ 2)/Ewindow;
26 end
27 end

```

5.5 iir_design.m

Construção do filtro IIR, identificando se com a ordem atual o filtro é estável.

```

1  function [num, den] = iir_design(iir_type, maximum_order, ...
           filter_tol, bands)
2  not_finished = 1;
3  order = maximum_order;
4  bands_ = bands;
5  mode = 'bandpass';
6  if bands(1) == 0
7       bands_ = bands(2);

```

```

8         mode = 'low';
9     end
10    if bands(2) == 0.5
11        bands_ = bands(1);
12        mode = 'high';
13    end
14    while not_finished
15        [num, den] = iir_type(order, bands_ * 2, mode);
16        not_finished = any(abs(roots(den)) > 1 - filter_tol);
17        order = order - 1;
18    end
19 end

```

5.6 Item C

Utilizou-se uma função só para o calculo das porcentagens de energias das 10 bandas por janela, a função `percentage_extraction_band`, esta realiza o calculo do valor de f_m e chama a função `energy_in_bands` que realiza o calculo das energia com as bandas espaçadas até uma máxima frequência entregue pelo usuário.

A Figura 31 demonstra os resultados para os primeiros sinais de cada grupo.

| | Banda1 | Banda2 | Banda3 | Banda4 | Banda5 | Banda6 | Banda7 | Banda8 | Banda9 | Banda10 |
|----------|--------|--------|--------|--------|--------|--------|--------|---------|---------|---------|
| A | 19.522 | 12.386 | 11.421 | 6.743 | 10.786 | 15.424 | 3.1938 | 1.696 | 1.2348 | 1.4552 |
| B | 17.248 | 13.228 | 7.0976 | 5.1459 | 4.973 | 22.702 | 17.59 | 4.291 | 1.3986 | 1.0322 |
| C | 29.328 | 17.394 | 11.665 | 11.664 | 5.5142 | 7.3367 | 4.9512 | 0.71671 | 2.3065 | 1.0308 |
| D | 60.152 | 9.8949 | 7.2998 | 2.666 | 3.9089 | 2.2483 | 1.527 | 1.3474 | 0.65493 | 0.75818 |
| E | 5.2813 | 24.753 | 12.279 | 5.3455 | 8.996 | 7.1559 | 9.5311 | 10.002 | 5.1448 | 3.2274 |

Figura 31 – Tabela com porcentagem de energia em cada banda de acordo com o Grupo.

5.7 `percentage_extraction_band.m`

```

1 function[E_bands_proportion] = percentage_extraction_band(x, fs, ...
2     percent, number_bands, window_duration, overlap)
3     n=0;
4     percentage_power = 0;
5     while percentage_power < percent
6         n = n+1;
7         maxF_a = (length(x)-1)*fs/(2*length(x));
8         power_band = bandpower(x, fs, [0 n]);
9         total_power = bandpower(x, fs, [0 maxF_a]);
10        percentage_power = 100*(power_band/total_power);
11    end
12    fm = n;

```

```

13     [E] = energy_in_bands(x,number_bands,window_duration,fs,fm,overlap);
14     E_bands_proportion = zeros(1,number_bands);
15     for n= 1 : number_bands
16         E_bands_proportion(1,n) = mean(E(:,n));
17     end
18 end

```

5.7.1 energy_in_bands.m

```

1 function [E, num,den,bands] = energy_in_bands(x,number_bands, ...
    window_duration_seconds,fs,maximun_frequency_hertz,window_overlap,...
2     num0,den0,window_type,maximun_order,iir_type,filter_tol,...
3     band_overlap_factor);
4     if ~exist('window_overlap')
5         window_overlap = 0.5;
6     end
7     if ~exist('band_overlap_factor')
8         band_overlap_factor = 0;
9     end
10    if ~exist('filter_tol')
11        filter_tol = 1e-5;
12    end
13    if ~exist('iir_type')
14        iir_type = @butter;
15    end
16    if ~exist('metod')
17        metod = 'iir';
18    end
19    if ~exist('window_type')
20        window_type = @hamming;
21    end
22    if ~exist('maximun_order')
23        maximun_order =15;
24    end
25    maximun_normalized_frequency = maximun_frequency_hertz/fs;
26    N_window =round( window_duration_seconds*fs);
27    w = window_type(N_window);
28    window_shift = round((1-window_overlap)*N_window);
29    begin = 1;
30    end_ = N_window;
31    if size(x,2)>size(x,1)
32        w= w.';
33    end
34    N = length(x);
35
36

```

```

37     bands = [(0: maximun_normalized_frequency / number_bands :...
38             maximun_normalized_frequency * (1 - 1/number_bands)).' ...
39             (maximun_normalized_frequency / number_bands :...
40             maximun_normalized_frequency / number_bands :...
41             maximun_normalized_frequency).'];
42
43     bands(2 : end, 1) = bands(2 : end, 1) - ...
44     band_overlap_factor / 2 * maximun_normalized_frequency / ...
         number_bands;
45     bands(1 : end - 1, 2) = bands(1 : end - 1, 2) + ...
46     band_overlap_factor / 2 * maximun_normalized_frequency / ...
         number_bands;
47     num{number_bands} = [];
48     den{number_bands} = [];
49     if (~exist('num0')) || (~exist('den0'))
50         for b = 1 : number_bands
51             [num{b}, den{b}] = ...
                 iir_design(iir_type, bands(b, :), maximun_order, filter_tol);
52         end
53     else
54         num = num0;
55         den = den0;
56     end
57     w_index = 1;
58     L = round(length(x)/window_shift);
59     E = zeros(L, number_bands);
60     while end_ < N
61         xw= x(begin : end_).*w;
62         Ewindow = norm(xw)^2;
63         for b = 1 : number_bands
64             x_ = filter(num{b}, den{b}, xw);
65             E(w_index, b) = 100*(norm(x_) ^ 2)/Ewindow;
66         end
67         w_index = w_index + 1;
68         begin = begin + window_shift;
69         end_ = end_ + window_shift;
70     end
71     E = E(1:w_index-1, :);
72 end

```

5.8 Item D

Para esse item basta não alocar na matriz o valor médio retificado da função da secção 5.2.1.

5.9 Item E

Para a realização do item foi criado o *script* `quest5e.m` e a função `extract_caracs`.

```

1 clear all;close all;clc
2 fs = 173.61;
3 window_duration = 5;
4 overlap = 0.5;
5 window_type = @hamming;
6 percent = 95;
7 number_bands = 10;
8 [x_a,~,~,x_d,~] = extract_signals();
9 for n = 1:length(x_a)
10     x_a{n} = x_a{n} - mean(x_a{n});
11     x_d{n} = x_d{n} - mean(x_d{n});
12 end
13 [caracs_t_fA,caracs_EwvA,caracs_EbandsA] = extract_caracs(x_a,fs,...
14     window_duration,overlap,window_type,percent,number_bands);
15 [caracs_t_fD,caracs_EwvD,caracs_EbandsD] = extract_caracs(x_d,fs,...
16     window_duration,overlap,window_type,percent,number_bands);
17 training_selection_factor = 0.6;
18 confusion_matrixTF = training_validation_session(caracs_t_fA, ...
19     caracs_t_fD,...
20     training_selection_factor);
21 confusion_matrixEwv = training_validation_session(caracs_EwvA, ...
22     caracs_EwvD,...
23     training_selection_factor);

```

5.9.1 `extract_caracs.m`

Esta função extrai a características dos n sinais na célula x .

```

1 function [caracs_t_f,caracs_Ewv,caracs_Ebands] = ...
2     extract_caracs(x,fs>window_duration,...
3     overlap>window_type,percent,number_bands);
4     caracs_t_f = zeros(length(x),4);
5     for n = 1:length(x)
6         [~,~,~,~,carac_matrix]...
7         = carac_time_frequency5D(x{n},fs>window_duration>window_type,...
8         overlap);
9         caracs_mean =sum(carac_matrix,1)/size(carac_matrix,1);
10        caracs_t_f(n,:) = caracs_mean;

```

```

10     end
11     caracs_Ewv = zeros(length(x),5);
12     for n = 1:length(x)
13         [¬,¬,¬,¬,¬,E,¬,¬]= carac_time_frequency2_0(x{n},fs,...
14             window_duration,window_type,overlap);
15         caracs_mean =sum(E,1)/size(E,1);
16         caracs_Ewv(n,:) = caracs_mean;
17     end
18     caracs_Ebands = zeros(length(x),number_bands);
19     for n = 1:length(x)
20         [caracs_Ebands(n,:)] = percentage_extraction_band(x{n},fs,...
21             percent,number_bands,window_duration,overlap);
22     end
23 end

```

5.9.2 Resultados

Realizando o classificador SVM com as 3 estratégias nota-se em uma primeira implementação que o classificador com melhor resultado foi o que utiliza a energia das ondas características.

Tabela 7 – Matriz de confusão utilizando as energias das ondas.

| | p | n |
|---|----|----|
| Y | 37 | 2 |
| N | 3 | 38 |

Tabela 8 – Matriz de confusão utilizando as energias da divisão em 10 bandas.

| | p | n |
|---|----|----|
| Y | 34 | 3 |
| N | 6 | 37 |

Tabela 9 – Matriz de confusão utilizando as características de tempo e frequência.

| | p | n |
|---|----|----|
| Y | 34 | 3 |
| N | 6 | 37 |

5.10 Item F

Utilizou-se o *script* `quest5f.m`, nele é realizada as 500 sessões e as matrizes confusões resultantes são somadas, após isso foi aplicada a formula dos índices de desempenho.

```

1 clear all;close all;clc
2 fs = 173.61;
3 window_duration = 5;
4 overlap = 0.5;
5 window_type = @hamming;
6 percent = 95;
7 number_bands = 10;
8 [x_a,~,~,x_d,~] = extract_signals();
9 for n = 1:length(x_a)
10     x_a{n} = x_a{n} - mean(x_a{n});
11     x_d{n} = x_d{n} - mean(x_d{n});
12 end
13 [caracs_t_fA,caracs_EwvA,caracs_EbandsA] = extract_caracs(x_a,fs,...
14     window_duration,overlap,window_type,percent,number_bands);
15 [caracs_t_fD,caracs_EwvD,caracs_EbandsD] = extract_caracs(x_d,fs,...
16     window_duration,overlap,window_type,percent,number_bands);
17 training_selection_factor = 0.6;
18 cmTF = zeros(2);
19 cmEwv = zeros(2);
20 cmEbds = zeros(2);
21 for n=1:1:500
22     confusion_matrixTF = training_validation_session(caracs_t_fA, ...
23         caracs_t_fD,...
24         training_selection_factor);
25     confusion_matrixEwv = training_validation_session(caracs_EwvA, ...
26         caracs_EwvD,...
27         training_selection_factor);
28     confusion_matrixEbds = ...
29         training_validation_session(caracs_EbandsA, caracs_EbandsD,...
30         training_selection_factor);
31     cmTF = cmTF + confusion_matrixTF;
32     cmEwv = cmEwv + confusion_matrixEwv;
33     cmEbds = cmEbds + confusion_matrixEbds;
34 end
35 accuracyTF = (cmTF(1,1) + cmTF(2,2))/sum(sum(cmTF));
36 accuracyEwv = (cmEwv(1,1) + cmEwv(2,2))/sum(sum(cmEwv));
37 accuracyEbds = (cmEbds(1,1) + cmEbds(2,2))/sum(sum(cmEbds));
38 recallTF = cmTF(1,1)/(cmTF(1,1)+cmTF(2,1));
39 recallEwv = cmEwv(1,1)/(cmEwv(1,1)+cmEwv(2,1));
40 recallEbds = cmEbds(1,1)/(cmEbds(1,1)+cmEbds(2,1));
41 precisionTF = cmTF(1,1)/(cmTF(1,1)+cmTF(1,2));
42 precisionEwv = cmEwv(1,1)/(cmEwv(1,1)+cmEwv(1,2));
43 precisionEbds = cmEbds(1,1)/(cmEbds(1,1)+cmEbds(1,2));
44 fscoreTF = 2/(1/precisionTF + 1/recallTF);
45 fscoreEwv = 2/(1/precisionEwv + 1/recallEwv);
46 fscoreEbds = 2/(1/precisionEbds + 1/recallEbds);

```


A tabela abaixo realiza a comparação dos índices de desempenho entre as estratégias.

Tabela 10 – Índices de desempenho

| | Acurácia | Sensibilidade | Precisão | medida-F |
|------------------|----------|---------------|----------|----------|
| E. das Ondas | 94.02% | 92.83% | 95.09% | 93.94% |
| E. das 10 bandas | 89.97% | 89.66% | 90.23% | 89.94% |
| Carac.T-F | 94.79% | 94.29% | 95.23% | 94.76% |